

COURS
D' HYDRAULIQUE
(Algier)

①

HYDRAULIQUE

Scince n°1 - CHAPITRE 1

(A) Généralités sur la mécanique des fluides.

- la science hydraulique
- raisonnement et expérimentation

$$\tau = \mu \frac{dv}{dy} \quad \text{Viscosité}$$

Hypothèses simplificatives.

L'hydraulique est une science expérimentale

- éq. diff. difficiles à intégrer
- ou résultats complexes
- expérimentales

measures

débit d'une canalisation en fonte ϕ diamètre
recherche d'une expression algébrique simple

mais formules non homogènes
et de portée limitée

$$\text{ex } \frac{1}{4} DJ = \alpha \sqrt{\frac{U^2}{D}}$$

la formule de Flamant n'est
valable que pour les tuyaux
en fonte $0,10 \leq \phi \leq 2\text{m}$.

pour l'eau seulement

α dépend de la fonte, de la rugosité
fonte en service: $\alpha = 0,0023$

②

les expérimentales

- semi- avec coefs numériques
- (constants) - données de dimensions

Von Karman a dit que l'hydraulique
était l'art de faire varier les constantes

Histoire - Tendances modernes

Aspect théorique

Aspect expérimental

d'abord science expérimentale

Achimède

Bernoulli (début du 18^e siècle)

découvert du calcul différentiel et intégral
principes de la mécanique (conservation
de l'énergie) -

l'hydraulique devient une science de
raisonnement.

Limites du calcul (19^e siècle)

expérimentations BAZIN

(équation: $Q = mlh \sqrt{2gh}$)

$$m = 0,605 - 0,03 \frac{L-1 + 0,0027}{h} \left[1 + 0,55 \left(\frac{l}{L} \right)^2 \left(\frac{h}{p+h} \right)^2 \right]$$

d'émissions à contraction latérale.

2^e partie

Sept^hèse, dimensionnement et
expérimentation
analogie dimensionnelle

Similitude (laboratoires)
(maquette).

formule de COLEBROOK (1952)

(mais toujours en matière plastique
Colloque UNESCO - Paris 1971)
écoulements permanents (non uniformes
- appariition de l'outil : ordinateur).

(3)

B

Définition des fluides

Def. matière continue, homogène, sans forme propre, les particules peuvent se déplacer sous l'action d'une force très faible.

(mais non aussi pour l'argile, asphalte)

échelle moléculaire: le fluide a des molécules libres dont la trajectoire est limitée par les points solides.

Parmi les fluides: les liquides occupent un volume déterminé.

liquide type: eau

C

Actions de contact

On considère le liquide comme une matière continue, pouvant être décomposée en éléments de volume iff que l'on isolé par la pensée: les particules du fluide.

exemple:



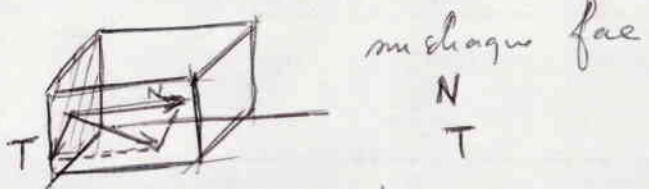
(4)

Raisonnement

(5)

Système de force tel que les particules fluide conserve son état antérieur.

N aux actions exercées sur la particule par les particules vides en contact avec elle.



Effets et déformations

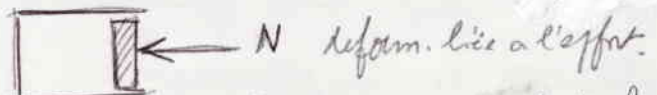
a) solides élastiques: loi de Hooke:

$$e = \frac{\Delta l}{l} = -\frac{\sigma}{E}$$

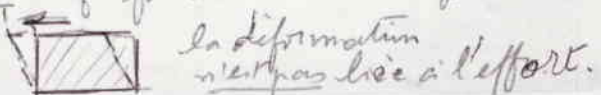
(81^e Merouani) Merouani

b) fluids par de forme propre

1^{er} Cas modifi. volume sans modification de forme



2^{er} Cas modifi. forme sans modifi. volume



particule fluide élémentaire:

en + des actions de contact: force de masse

(6)

(7)

fluides incompressibles, fluides réels fluides parfaits

pour les fluides réels $T = f(\underline{\text{vitesse}})$
 $(\text{si } V=0; T=0)$

si $T \geq 0$ quelque soit la vitesse
 \Leftrightarrow fluide parfait

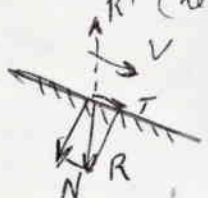
fluides incompressibles.

(D)

NOTION de PRESSION :

pression sur une paroi.

R' (réaction de la paroi sur le fluide).



$$\vec{R}' = -\vec{R}$$

→ pression: $\frac{|\vec{N}|}{\Delta A} = p$ quand $\Delta A \rightarrow 0$

aire

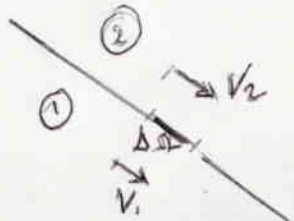
si $V=0$

$T=0$

l'action d'un liquide en équilibre

sur une paroi est normale à celle-ci
 en tout point.

D) Pression à l'intérieur d'un fluide



$\Delta\Omega$, élément de la
surface de séparation
du fluide ① et du ②

$$T_1 = -T_2 \quad \text{friction de } (V_2 - V_1) \\ \text{s'annule avec } (V_2 - V_1)$$

$$\vec{N}_1 = -\vec{N}_2 = \vec{N} \quad \text{et } p = \lim_{n \cdot \Delta\Omega \rightarrow 0} \frac{[N]}{\Delta\Omega}$$

Isotropie du fluide parfait :

Dans un fluide parfait (en repos ou en mouvement)

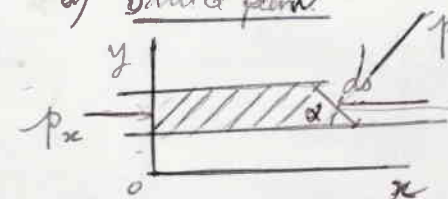
ou dans un fluide réel au repos
la valeur absolue de l'effort est
indépendante de la direction de
l'élément de surface sur laquelle il agit.

Démonstration

⑧

Rem: fluide parfait } $\rightarrow T=0$
(en l'état au repos)

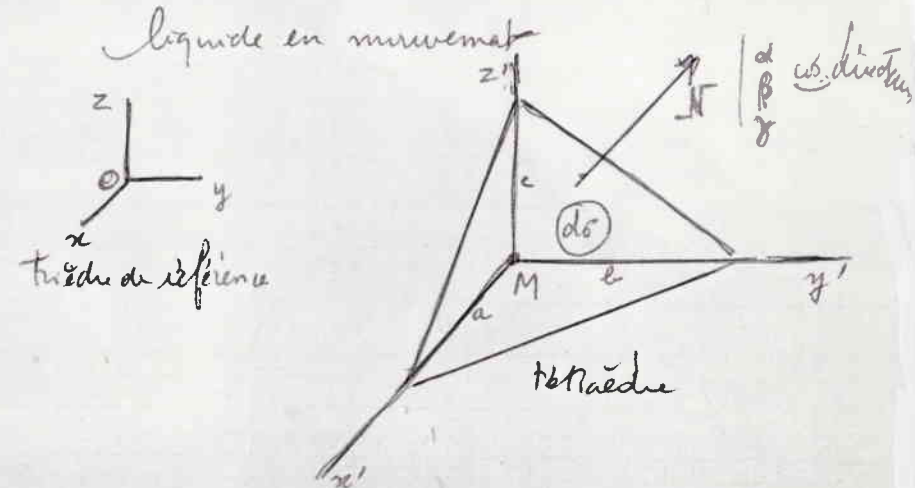
a) Dans le plan



$$p_{\text{ex}} \cdot dy = (p \cdot \text{ds}) \sin \alpha < p (\text{ds. min})$$

$$\rightarrow p = p_{\text{ex}} \quad \text{independant de } \alpha.$$

b) Dans l'espace (3 dimensions)



(10)

① forces de contact: (\perp aux faces):

$$\text{sur MBC: } p_x = \frac{bc}{2}$$

$$\text{MCA: } p_y = \frac{cd}{2}$$

$$\text{MAB: } p_z = \frac{bd}{2}$$

$$\text{Sur ABC: } p \cdot d\sigma$$

(11)

$$p = f(M) = f(x, y, z)$$

(fraction scalaire)

② force de masse:

$$\text{par unité de masse: } \vec{F}(x, y, z)$$

$$\text{masse de l'élément} \mid dm = g \frac{abc}{6}$$

$$\rightarrow \vec{F} \cdot dm = \begin{cases} g \times \left(\frac{abc}{6} \right) \\ \hline \hline \end{cases}$$

EQUILIBRE: en projection sur les 3 axes.

$$\text{Sur O}\alpha: p_x \cdot \frac{bc}{2} - (p \cdot d\sigma) \alpha + \cancel{x \cdot g \frac{abc}{6}} = 0$$

cf p. 3^e ligne.
nigligeable.

$$\rightarrow p = p_x \quad \rightarrow p_x = p_y = p_z = p \quad \text{independant de } \alpha$$

E) Unités utilisées en hydraulique

Généralités

cohérence d'un système d'unités
grandeur physique

- ex : longueur (mètres)
- vitesse
- pression

additivité -

espèces principales : unités fondamentales
 L, M, T

unités dérivées :

(un ensemble d'unités d'espèces ≠
unité en système d'unités)

S.I. (système international)

décret 61-501 du 1 Mai 1961

S.I.

longueur : m.

masse kg

Temps seconde

électricité ampère

Température kelvin

le môle

le candela

13

Tableau unités utilisées en

hydraulique :

voir Poly copie, page 17

équivalences entre ≠ systèmes

[Un résultat sans unité est un résultat
sans valeur]

14

Masse volumique de l'eau (SI) :-

$$\rho = \frac{1000 \text{ kg (masse)}}{1 \text{ m}^3} = 1000 \text{ kg/m}^3$$

Poids volumique : force.

$$W = f \cdot g = 1000 \times 9,81 \frac{\text{N}}{(\text{kg}) \times (\text{m/s}^2)} = 9810 \frac{\text{N}}{\text{m}^3}$$

$\approx 10000 \text{ N/m}^3$

Chapitre 2

(28)

1028 a 52

HYDRAULIQUE

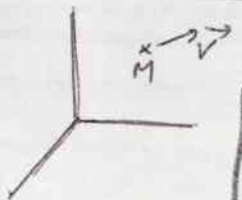
Cours n°2

LES BASES DE LA MECANIQUE DES FLUIDES INCOMPRESSEABLES.

La charge du courant liquide
les pertes de charge.

Principes généraux:

Variables d'EULER:



fluide en mouvement.

en un point M de l'espace $M(x, y, z)$
on considère le vecteur intérieur

$$\vec{V} \left\{ \begin{array}{l} U = f_1(x, y, z, t) \\ V = f_2(\quad) \\ W = f_3(\quad) \end{array} \right.$$

U, V, W (proj de V sont les variables d'EULER.

Le mouvement connu si on connaît la pression $p(x, y, z, t)$

et la masse volumique

$$\rho = \rho(x, y, z, t)$$

équations

S'exprime dépendant de 4 variables x, y, z, t

pour déterminer les fonctions U, V, W, p, ρ

on dispose des relations $F = m g$ (eq. fondam. de l'ameurage)

'eq. d'état: $\rho = f(p)$ liquides $\rho = \text{cte}$

(29)

eq. de continuité (conservation de la masse d'une particule).
CHAMP DES VECTEURS VITESSE

autre aspect: coordonnée d'une particule:

$$x = f_1(x_0, y_0, z_0, t)$$

$$y = f_2(\quad, t)$$

$$z = f_3(\quad, t)$$

variables de LAGRANGE

TRAJECTOIRES

Trajectoire: ligne des points occupés successivement par une même particule

ligne de courant : à t donné

lignes tangentes en chaque point aux vecteurs vitesse

'eq: \rightarrow

$$\frac{dx}{U} = \frac{dy}{V} = \frac{dz}{W}$$

U, V, W (variables d'EULER)

lignes d'émission

si t donné
lignes de M à des instants différents



représentation photographique:

trajectoires: (que des parallèles ·
long temps ou pose)

lignes de courant:

(grand nombre de parallèles
court temps · de pose
chaque représente un instant
nécessaire)

lignes d'émission: en quelques points fixes
on place quelques particules de
permanganate que l'on photographie
peu après -

(20)

Mouvement permanent

le champ de vitesse
la pression
la masse volumique

ne dépendent pas du temps

$$\left\{ \begin{array}{l} V = V(x, y, z) \\ V = V(t) \\ W = \quad \quad \quad \end{array} \right.$$

$$\left\{ \begin{array}{l} p = p(x, y, z) \\ f = f(x, y, z) \end{array} \right.$$

3 variables seulement

pose (liquide)

Dans un mouvement permanent les lignes de courant sont des courbes fixes (independantes du temps)
Elles sont confondues avec les trajectoires et les lignes d'émission

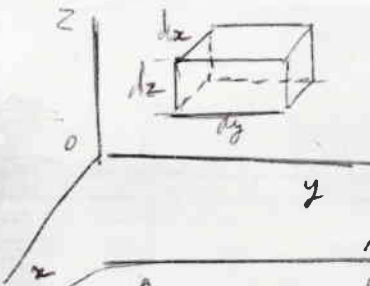
On ne parle plus que de lignes de courant -

tube de courant: enroulage de lignes de courant qui s'agencent sur une courbe fermée

(21)

(32)

ÉQUATIONS DU MOUVEMENT D'UN FLUIDE PARFAIT:



$$\vec{f} = m \cdot \vec{\gamma}$$

$$dm = \rho \cdot dx \cdot dy \cdot dz$$

sur l'Unité de masse

forces d'inertie $\frac{d^2x}{dt^2}$	forces de contact (viscosité)	forces marqués
$\rho \frac{d^2x}{dt^2} = -\frac{\partial p}{\partial x} \cdot dx \cdot dy \cdot dz + \gamma x \rho \frac{dx}{dt} \cdot dy \cdot dz$		
$\rho \frac{d^2y}{dt^2} = -\frac{\partial p}{\partial y} \cdot dx \cdot dy \cdot dz + \gamma y \rho \frac{dy}{dt} \cdot dx \cdot dz$		
$\rho \frac{d^2z}{dt^2} = -\frac{\partial p}{\partial z} \cdot dx \cdot dy \cdot dz + \gamma z \rho \frac{dz}{dt} \cdot dx \cdot dy$		

(en projetant, sur Ox, Oy, Oz)

→ après division par $\rho \cdot dx \cdot dy \cdot dz$:

$$\begin{cases} \frac{\partial^2 x}{\partial t^2} = x - \frac{1}{\rho} \frac{\partial p}{\partial x} \\ \frac{\partial^2 y}{\partial t^2} = y - \frac{1}{\rho} \frac{\partial p}{\partial y} \\ \frac{\partial^2 z}{\partial t^2} = z - \frac{1}{\rho} \frac{\partial p}{\partial z} \end{cases}$$

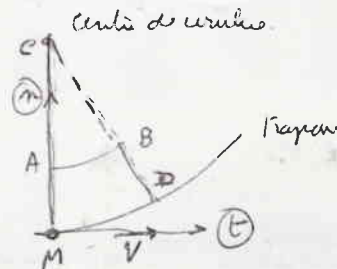
$$\vec{\gamma} = \vec{F} - \frac{1}{\rho} \text{grad } p$$

par unité de masse

mais

(33)

Équations intrinsèques:



$$CM = R$$

on projette sur les axes liés à la trajectoire

$$\text{composants de } \vec{F}: \left\{ \begin{array}{l} T \\ N \end{array} \right.$$

$$\text{composants de } \vec{V}: \left\{ \begin{array}{l} V_s \\ V_m = 0 \end{array} \right.$$

composante de $\vec{\gamma}_s$

$$\gamma_s = \frac{dV_s}{dt} = V_s \cdot \frac{\partial V_s}{\partial s} + \frac{\partial V_s}{\partial t} = 0$$

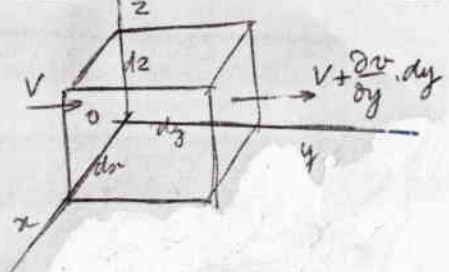
$$\gamma_m = \frac{dV_m}{dt} = \frac{V_s^2}{R} + \frac{\partial V_m}{\partial t}$$

si mouvement permanent

$$\rightarrow \begin{cases} V \cdot \frac{\partial V}{\partial s} = T - \frac{1}{\rho} \frac{\partial p}{\partial s} \\ \frac{V^2}{R} = N - \frac{1}{\rho} \frac{\partial p}{\partial m} \end{cases}$$

équations intrinsèques

Équation de Continuité



(34)

position fixe

masse qui sort

$$\text{en faveur de } \rho V \frac{dx}{dt} = - \left(\rho V + \frac{\partial \rho V}{\partial y} dy \right) dx dt = - \frac{\partial \rho V}{\partial y} dy dx dt$$

2^e —

$$\rightarrow - \frac{\partial \rho W}{\partial z} dx dy dz dt$$

3^e —

$$\rightarrow - \frac{\partial \rho U}{\partial x} dx dy dz dt$$

→ au total: quantité de masse.

$$- \left(\frac{\partial \rho U}{\partial x} + \frac{\partial \rho V}{\partial y} + \frac{\partial \rho W}{\partial z} \right) dy dz dt$$

variations de masse volumique $(dx dy dz) \frac{\partial \rho}{\partial t} dt$
 $\rightarrow (= 0 \text{ si fluide incompressible})$

égalité des 2 expressions:

$$\frac{\partial \rho U}{\partial x} + \frac{\partial \rho V}{\partial y} + \frac{\partial \rho W}{\partial z} + \frac{\partial \rho}{\partial t} = 0$$

fluides incompressibles: $\rho = \text{cte}$ →

$$\frac{\partial U}{\partial x} + \frac{\partial V}{\partial y} + \frac{\partial W}{\partial z} = 0$$

$$\text{div. } \vec{V} = 0$$

(35)

EQUATION DE BERNOULLI

Cas du fluide parfait
 mouvement permanent
 fluide devant d'un potentiel U

$$\vec{F} = - \text{grad } U$$

ρ n'est fonction que de p (fluide incompressible, $\rho = \text{cte}$)

On a vu que

$$\frac{V^2}{2} = T - \frac{1}{\rho} \frac{dp}{ds}$$



Point critique →

$$\frac{V^2}{2} + U_c + \int \frac{dp}{\rho} = \text{cte}$$

équation de Bernoulli de Saint-Venant

équilibre isotherme
 p n'est que de p .

et pour un fluide compressible:

$$\frac{V^2}{2} + g z + \frac{P}{\rho} = \text{cte}$$

pour l'unité de masse.

on en voit, en 2 points M_1 et M_2 d'une ligne de courant

$$\text{D-Bernoulli (1738)} \quad \frac{V_1^2}{2} + g z_1 + \frac{P_1}{\rho} = \frac{V_2^2}{2} + g z_2 + \frac{P_2}{\rho}$$

unité de masse

Interprétation : Conservation de l'énergie
par l'unité de volume.

$$\rho \frac{V^2}{2} + p + \rho g z = \text{cte}$$

énergie cinétique énergie de pression énergie potentielle
(dans le changement d'état).

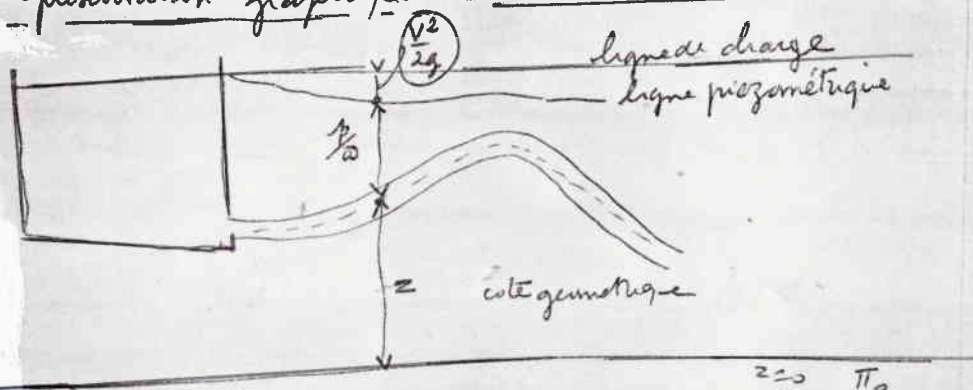
Pour l'unité de poids : particules.

$$\frac{V^2}{2g} + \frac{p}{\rho g} + z = \text{cte}$$

(lungueurs).

hydrostatique.

Représentation graphique : de la relation de Bernoulli.

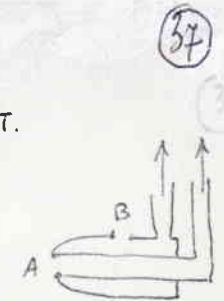


36

Application : exemple tube de Pitot.

$$p = p_0 + \rho \frac{V_0^2}{2}$$

pression dynamique



37

37

à passer

Remarque : répartition transversale des vitesses :

$$\frac{V_c}{R}$$

$$N = \frac{1}{\rho} \frac{\partial p}{\partial n}$$

intégrable

2^e eq. intégrage:

Cas particuliers:

Fonction de courant : écartement des lignes de courant
(pas au programme)

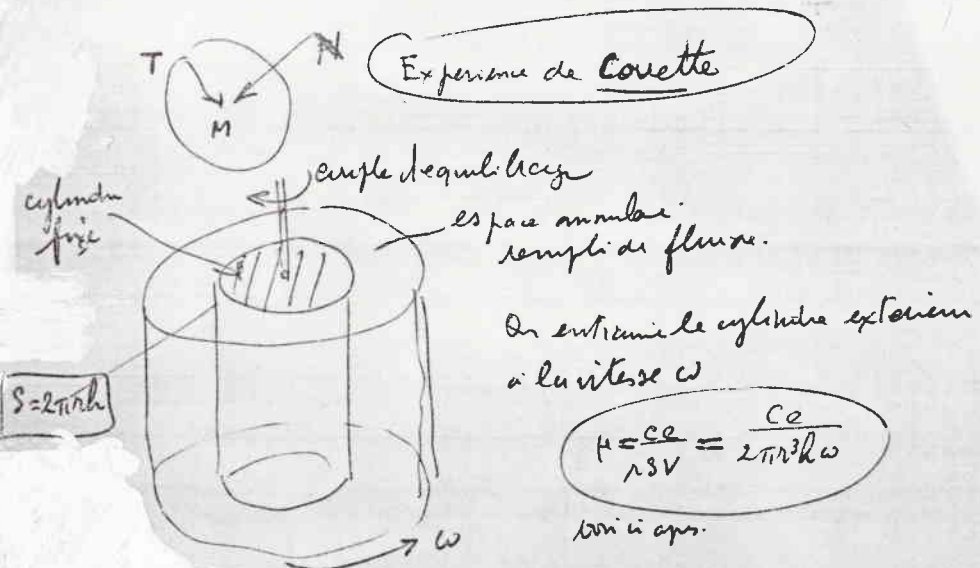
Vecteur vortillon : pas au programme.

Cas des fluides visqueux

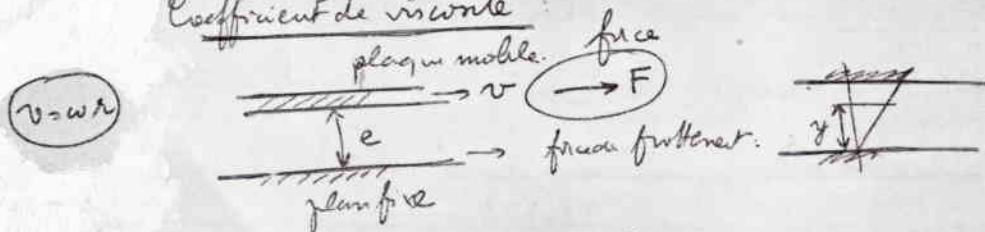
fluides réels:

Viscosité:

action du contact: T non nul.



Coefficient de viscosité:



$$F = \mu \cdot S \cdot V \cdot \frac{1}{h} = \frac{\mu S V}{h}$$

μ = coefficient de viscosité dynamique

(38)

effort par unité de surface:

$$\boxed{\tau = \mu \cdot \frac{dV}{dy}}$$

(39)

coefficient de viscosité cinématique:

$$\boxed{\nu = \frac{\mu}{\rho}}$$

UNITES

$$\text{Viscosité dynamique: } \mu = \frac{F \cdot e}{S \cdot V} = \frac{M L T^{-2} \times L}{L^2 \times L T^{-1}} = M L^{-1} T^{-1} = \frac{F \cdot T}{L^2}$$

Unité S.I.: Newton $\times S / \text{par m}^2$ (ou POISEUILLE)

Unité CGS: dyne $\times \text{sec}/\text{cm}^2$ (ou POISE)

$$1 \text{ Newton} = \frac{10^5 \text{ dyne}}{1 \text{ m}^2} = 10^4 \text{ cm}^2 \quad 1 \text{ Poisseuille} = 10 \text{ Poises}$$

$$\text{Viscosité cinématique: } \boxed{\nu = \frac{\mu}{\rho}} = \frac{M L^{-1} T^{-1}}{M L^{-3}} = L^2 T^{-1}$$

S.I.: $\text{m}^2/\text{seconde}$ (ou $\text{m}^8 \text{t} = \underline{\text{myria stokes}}$)

CGS: $\text{cm}^2/\text{seconde}$ (STOKE) $1 \text{ stoke} = 10^{-4} \text{ m}^2/\text{s}$.

Gérone (Voir TD) (appareil de COUETTE)

(40)

(41)

Valeurs numériques:

Eau :	0°	15°	20°	60°	100°	100°
μ	1,79	1,15	1	0,80	0,30	0,16 centipoise
ν :	1,79	<u>mesures valables</u>		centistokes.		

en SI : $\mu_{\text{eau}} = 1 \cdot 10^{-3}$ Poise = 10^{-3} poiseille

$$\nu_{\text{eau}} = 1 \text{ centistoke} = 10^{-6} \text{ SI}$$

autres fluides:

Air	Eau	Mercurie	Huile	Glycérine
μ centipoise	0,018	0,6	1,6	10 à 1200

$$\nu \left| \begin{array}{l} \text{air à } 20^\circ \text{C} = \frac{0,00018 \text{ poise}}{0,0012 \text{ g/cm}^3} = 0,15 \text{ stoke} \\ \text{eau à } 20^\circ \text{C} = 0,01 \text{ stoke} \end{array} \right.$$

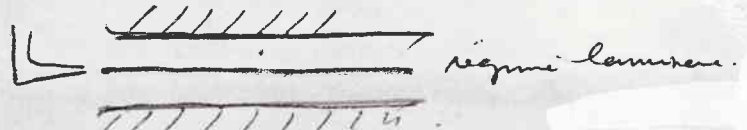
Déviation de ν avec la pression
la température

(Méth. TD).

Théorie de la viscosité ...

[Gaz parfaits: liquides purs]	Théorie de Maxwell
	Théorie d'Andrade

Écoulements turbulents:



Écoulement laminaire : exp. de Poiseille 1836

exp. de Hagen

L'écoulement laminaire disparaît pour un certaine valeur de Re nombre de Reynolds $Re = \frac{VD}{\nu}$

($Re \approx 2000$ pour les tuyaux)

$Re < 2000$ écoulement laminaire
 $Re >$ — turbulent

Couche limite:



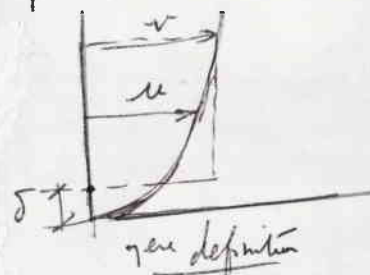
① fluide parfait

② visqueux

III) avec $Re \rightarrow \infty$

couches de laminar ou couche limite (Grashof - 1904)
quelques millimètres --

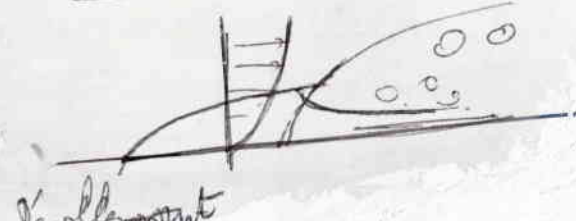
épaisseur de la couche limite



par définition

$$u = \infty (à 1\% près)$$

couche limite laminaire
turbulente



décolllement

(42)

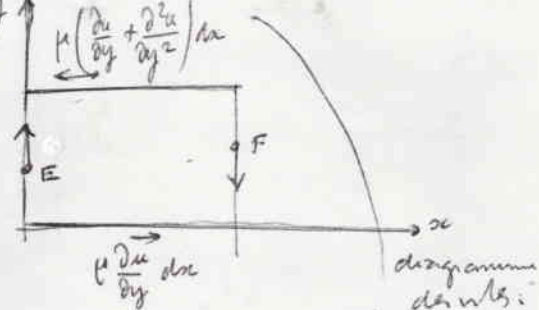
équations de NAVIER.

(43)

demonstration
faute de Navier

$$\frac{1}{\rho} \nabla p = \vec{F} - \vec{\gamma} + \gamma \vec{\Delta V}$$

$$m = \rho dx dy \times 1$$



$$\text{on a trouv\'e que } \frac{d^3 x}{dt^2} = x - \frac{1}{\rho} \frac{\partial p}{\partial x} \quad (\text{unit\'e de masse})$$

$$\frac{d^2 x}{dt^2} = x - \frac{1}{\rho} \frac{\partial p}{\partial x} + \frac{\mu}{\rho} \frac{\partial^2 u}{\partial y^2}$$

----- $\frac{\partial p}{\partial y} = 0$ -----

Cas g\'eneral: $\frac{1}{\rho} \frac{\partial p}{\partial x} = x - \frac{\partial^2 x}{\partial t^2} + v \cdot \Delta u$ Laplacien

Equations de NAVIER

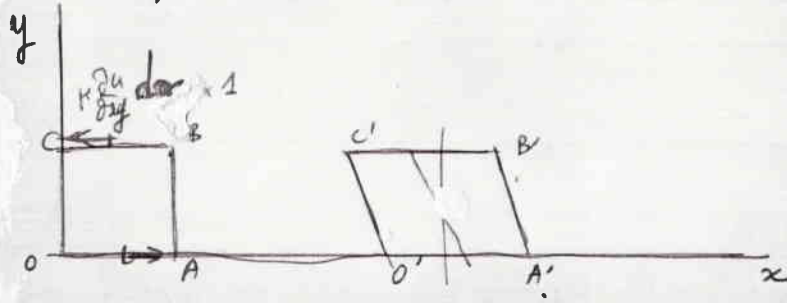
$$\frac{1}{\rho} \nabla p = \vec{F} - \vec{\gamma} + \gamma \vec{\Delta V}$$

(44)

Perdes de charge

Dissipation de l'énergie dans un fluide visqueux
face à la viscosité retardatrice, absorbant du travail → chaleur.

Energie dissipée:



$$\text{Travail} \quad (\mu \cdot \frac{\partial u}{\partial y} \cdot dx) \times \frac{dy}{2} \cdot \frac{dz}{2} \cdot dt$$

face distance.

$$\rightarrow \text{puissance dissipée par unité de volume} = \boxed{\mu \left(\frac{\partial u}{\partial y} \right)^2}$$

Cas général:

$$\phi = \mu \left[2 \sum \left(\frac{\partial u}{\partial x} \right)^2 + \sum \left(\frac{\partial u}{\partial x} + \frac{\partial u}{\partial y} \right)^2 \right]$$

$$\text{fonction de dissipation} \quad > 0$$

(45)

Notion de perte de charge pour un fillet liquide

Jean

échange d'énergie avec les filets voisins
+ perte d'énergie puree
= perte de charge

déplacement de M₁ à M₂:

$$\frac{V_1^2}{2g} + \frac{P_1}{\rho g} + z_1 = \frac{V_2^2}{2g} + \frac{P_2}{\rho g} + z_2 + \int_{M_1}^{M_2} dz$$

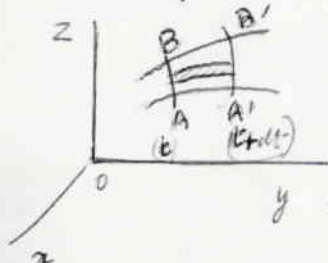
en M₁ en M₂

↑
perte de charge

extension de l'éq. de Bernoulli.

(46)

→ Energie d'une tranche liquide (section w)



$$dm = \rho \cdot V \cdot dt \cdot dw$$

énergie E de la tranche liquide
de masse $dm = \rho \cdot V \cdot dt \cdot dw$

$$E = \int_w (e_z + e_p + e_c) \cdot dm = \int_w e_z \cdot dm + \int_w e_p \cdot dm + \int_w e_c \cdot dm$$

$$E = E_z + E_p + E_c$$

énergie de position

$$E_z = \int_w g z dm = mgz$$

z_g côté au c. d. g. ou
(centre de gravité)

énergie du pression

$$E_p = \int_w g \frac{P}{\omega} dm = g \cdot \frac{P_g}{\omega} \cdot m$$

énergie cinétique

$$E_c = \int_w \frac{V^2}{2g} \cdot g dm = \int_w \frac{V^2}{2} \cdot \rho \cdot V \cdot dw \cdot dt = \frac{1}{2} \rho dt \int_w V^2 dw$$

(47)

$$V = V_0 + \varepsilon$$

$$E_c = \frac{1}{2} \rho dt \int_w V^2 dw = \frac{V_0^2}{2} \rho \int_w V dt = dm \frac{V^2}{2}$$

et nous obtient l'inégalité répartition des intenses

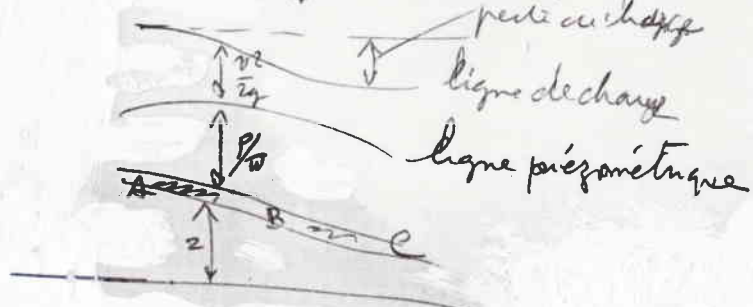
Cas du théorème de Bernoulli pour un courant liquide:

$$z_1 + \frac{P_1}{\rho g} + \frac{V_1^2}{2g} = z_2 + \frac{P_2}{\rho g} + \frac{V_2^2}{2g} + (Dg)^2$$

représentation graphique:

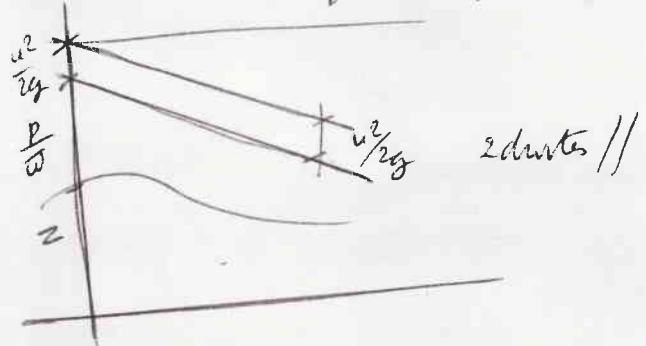
Canards flottants parfaits

introduction graphique de la perte de charge



(78)

Cos d'un courant uniforme (et permanent)



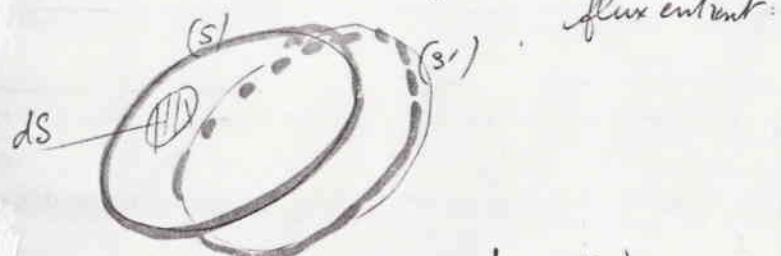
Mouvement = potentiel (à recr.)

3me leçon

THEOREME D'EULER

On a intégré la l'éq. dynamiques pour un fluide parfait avec un champ de forces dépendant d'un potentiel. (\rightarrow Bernoulli).

Etude de la résultante des forces appliquées à un volume de fluid.



$$\sum \vec{F} = \vec{m\ddot{v}} = \left(\frac{d}{dt} \sum m \vec{v} \right)$$

impulsion

Mais pour le pour mais aussi pour une masse non ponctuelle:

Cas du mouvement permanent: \rightarrow

$\frac{d}{dt} \left(\sum m \vec{v} \right)$ est facile à calculer.

(49)

$$\frac{d}{dt} \sum m \vec{v} = \frac{\sum_2 m \vec{v} - \sum_1 m \vec{v}}{dt}$$

avec $m = \rho \cdot V_n \cdot dt$

$$\text{avec } \sum_1 m \vec{v} = \iiint |g \vec{V}_n \cdot \vec{V}| ds \cdot dt$$

sur la surface d'entrée

$$\sum_2 m \vec{v} = \iint |g \vec{V}_n \cdot \vec{V}| ds dt$$

sur la surface de sortie

au total

$$\sum \text{force ext} = \iint_s g \vec{V}_n \cdot \vec{V} \cdot do$$

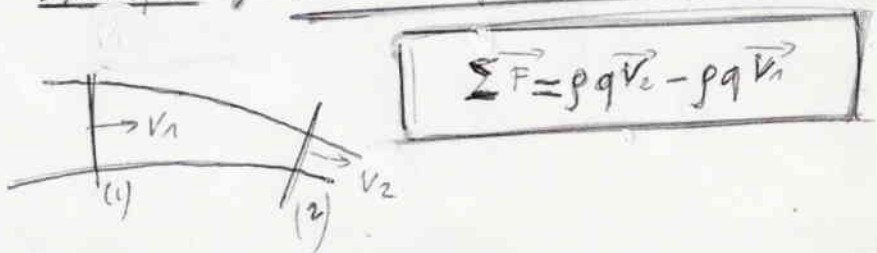
En écoulement permanent le système des débits de quantités de mouvement sortant d'une surface S est égal au système des forces extérieures appliquées au fluide limité par la surface S.

(Th. d'OSTROGRADSKI).

exemple : théorème de Belanger plus loin

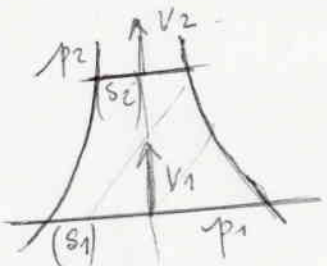
(51)

Exemple 1) écoulement permanent dans un tuyau



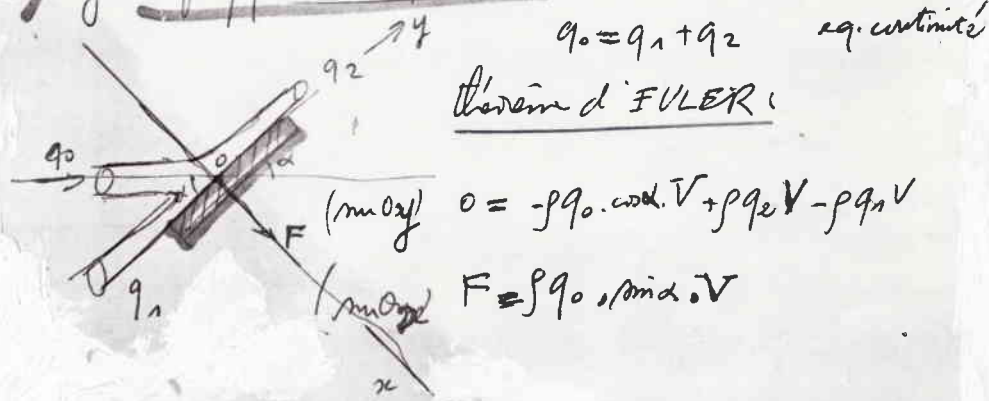
$$\sum \vec{F} = \rho g \vec{V}_2 - \rho g \vec{V}_1$$

- tube de conique vertical:



$$\rho g \vec{V}_2 - \rho g \vec{V}_1 = -\rho g w + \\ + p_1 S_1 + p_2 S_2$$

2) Jet frappant une plaque



$$q_0 = q_1 + q_2 \quad \text{eq. continuité}$$

théorème d'EULER:

$$0 = -\rho q_0 \cdot \cos \beta \cdot V + \rho q_2 V - \rho q_1 V$$

$$F = \rho q_0 \cdot \sin \beta \cdot V$$

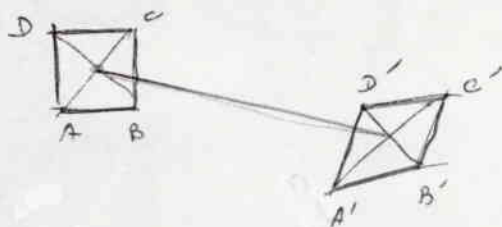
$$\rightarrow q_1 = \frac{1 - \cos \alpha}{2} \cdot q_0 \quad \text{et} \quad q_2 = \frac{1 + \cos \alpha}{2} \cdot q_0$$

Rappel:

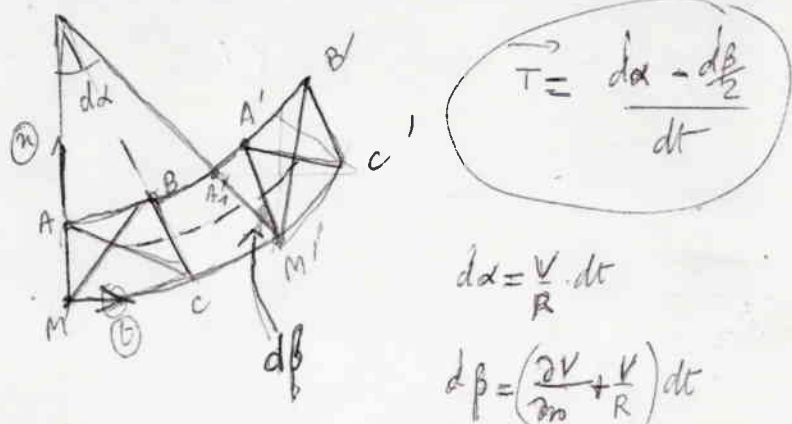
Fondements plans ----- Polytopic: p 62

$$\vec{V} = \begin{cases} u(x, y) \\ v(x, y) \end{cases}$$

Vectoriel tourbillon



translation
rotation
deformation:



$$\vec{T} = \frac{d\vec{x} - d\beta}{dt}$$

$$d\vec{x} = \frac{\vec{V}}{R} dt$$

$$d\beta = \left(\frac{\partial V}{\partial n} + \frac{V}{R} \right) dt$$

$$\text{en effet } d\beta = \frac{A'_1 A'}{dn} = \left(V + \frac{\partial V}{\partial n} dn \right) dt - V \left(1 - \frac{dn}{R} \right) dt =$$

donc $\boxed{|\vec{T}| = \frac{1}{2} \left(\frac{V}{R} - \frac{\partial V}{\partial n} \right)}$

$$\begin{aligned} \zeta &= \frac{1}{2} \left(\frac{\partial W}{\partial y} - \frac{\partial V}{\partial z} \right) \\ \eta &= \frac{1}{2} \left(\frac{\partial U}{\partial z} - \frac{\partial W}{\partial x} \right) \\ \xi &= \frac{1}{2} \left(\frac{\partial V}{\partial x} - \frac{\partial U}{\partial y} \right) \end{aligned}$$

(52)

$$\vec{T} = \frac{1}{2} \text{ rot. } \vec{V}$$

Nullité du vecteur tourbillon:

$$\text{mouvement plan: } \zeta = \frac{1}{2} \left(\frac{\partial V}{\partial x} - \frac{\partial U}{\partial y} \right) = 0$$

$$\rightarrow V = \frac{\partial \phi}{\partial x} \text{ et } U = \frac{\partial \phi}{\partial y}$$

Mouvements à potentiel
appl. mécanique des sols.

(53)

CHAPITRE 3

52bis

LES ECOULEMENTS SOUS PRESSION

Etude générale théorique.

A) Généralités

B) Ecoulements laminaires

1^o) movement plan

2^o) écoulement circulaire : loi de POISEUILLE

C) Ecoulements turbulents

1^o) Généralités Diagramme des vitesses

2^o) Précisat.

3^o) Principe de l'étude

4^o) Perte de charge linéaire

a) Expression générale

b) Recherches modernes

c) Formules classiques anciennes

d) formule pratique $\propto L Q^2$

5^o) Perte de charge singuliers

a) Definitions (borels)

b) Élargissement Th. de Bélanger

c) Rétrécissement

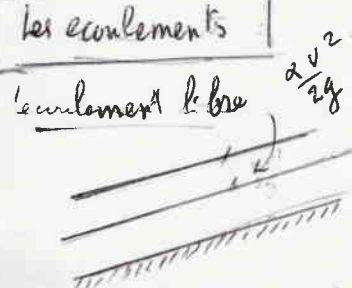
d) Généralisation

e) Calcul pratique

f) longueur équivalente

(54)

les écoulements



ligne géométrique

la ligne géométrique est à la surface du liquide

écoulement sous pression.

- Trajet de la ligne de charge.
- — — ligne géométrique

○ section de l'écoulement.

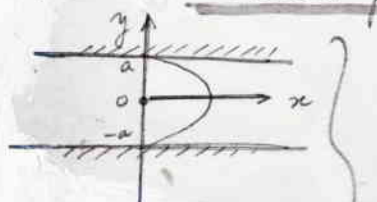
écoulements intérieurs :

$$\text{écoulements sous pression : } R_e = \frac{UD}{\nu}$$

A

Écoulements laminaires :

1°) écoulement plan rectiligne uniforme



$$\frac{1}{\rho} \cdot \frac{\partial p}{\partial x} - \nu \frac{\partial^2 u}{\partial y^2} = 0 \quad (1)$$

$$\frac{\partial f}{\partial y} = 0 \quad (2)$$

$$\frac{\partial u}{\partial x} = 0 \quad (\text{eq. de continuité}) \quad (3)$$

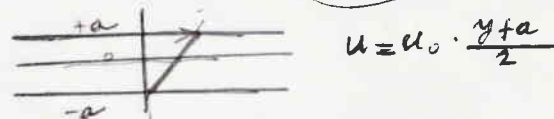
(55)

Si la vitesse ne dépend pas de x

$$\rightarrow \frac{1}{\rho} \frac{\partial p}{\partial x} = \nu \frac{\partial^2 U}{\partial y^2} = A = \text{cte}$$

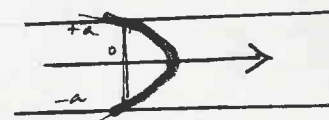
$$f(x) = G(y)$$

$\text{Cas 1: } A=0 \rightarrow P=\text{cte} \quad \text{et } u = my + xc$

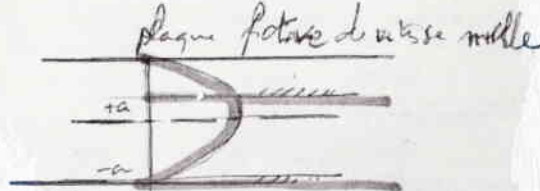


$\text{Cas 2: } A \neq 0 \quad \text{partie frontière linéaire} \rightarrow$
et $u = u_0 \left(1 - \frac{y^2}{a^2} \right)$

2 plaques mobiles



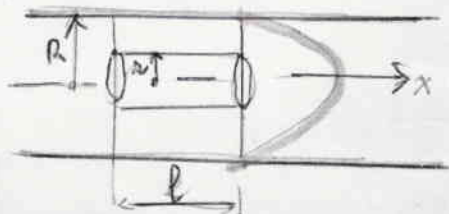
1 plaque mobile



(56)

2^e Ecoulement à section circulaire: l'écoulement de POISEUILLE

élément de longueur:



$$fondation: \pi R^2 \cdot \Delta p$$

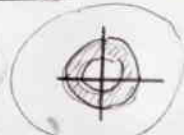
$$fond de la vane: (2\pi r \ell) \mu \cdot \frac{dV}{dr} \rightarrow$$

$$\pi R^2 \Delta p + (2\pi r \ell) \mu \frac{dV}{dr} = 0$$

$$\rightarrow \frac{dV}{dr} = - \frac{r}{2\mu} \frac{\Delta p}{\ell}$$

$$\rightarrow V = \frac{1}{4\mu} \frac{\Delta p}{\ell} (R^2 - r^2)$$

Débit:



$$dQ = ds \cdot V = (2\pi r \cdot dr) \cdot \frac{1}{4\mu} \left(\frac{\Delta p}{\ell} \right) (R^2 - r^2)$$

$$\rightarrow Q = \int_0^R \frac{2\pi}{4\mu} \left(\frac{\Delta p}{\ell} \right) (R^2 - r^2) r dr =$$

$$= \frac{R^4}{4} \cdot \frac{\pi}{2\mu} \cdot \frac{\Delta p}{\ell} = \frac{\pi}{8\mu} \left(\frac{\Delta p}{\ell} \right) R^4$$

Loi de POISEUILLE

(57)

fonction réduite de l'écoulement

6 grandeurs physiques

$$R \ u \ \Delta p \ l \ \nu \ \rho$$

$$\text{relation } \boxed{V = \frac{Q}{S} = \frac{1}{8\mu} \frac{\Delta p}{l} \cdot R^2}$$

$$\mu = \nu \rho$$

$$\text{variables indépendantes: } \boxed{U = \frac{1}{8\mu P} \frac{\Delta P R^2}{l}}$$

$$\textcircled{1} \quad Re = \frac{UD}{\nu}$$

$$\textcircled{2} \quad \left(\frac{\Delta p}{\rho} / \frac{U^2}{2} \right)$$

$$\textcircled{3} \quad \frac{R}{l}$$

$$\frac{U^2}{2} = \frac{1}{16} \frac{\Delta p}{\rho} \left(\frac{UR}{\nu} \right) \frac{R}{l}$$

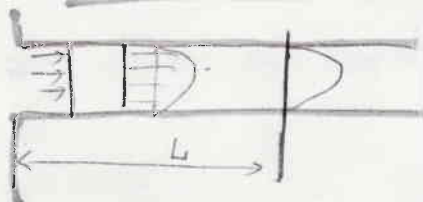
fonction déduite de l'écoulement (lamininaire)

$$\boxed{\frac{\Delta p}{\rho \frac{U^2}{2}} = \frac{64}{Re} \cdot \frac{l}{D}}$$

pour un tube incliné : on pose $p^* = p + \rho g z$

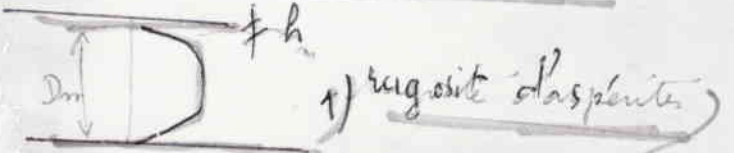
$$\rightarrow \frac{\Delta p^*}{\rho} = \frac{64}{R_e} \frac{U^2}{2} \frac{l}{D}$$

longeur d'établissement du régime lamininaire :



$$\frac{L}{D} = 0,023 R_e$$

Ecoulements turbulents $R_e > 2000$

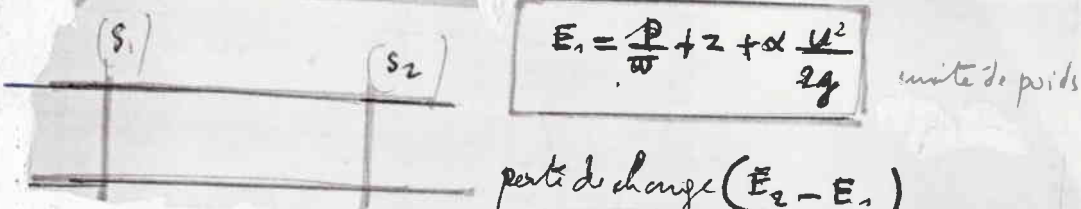


1) rugosité d'aspérités

rugosité relative

$$\epsilon = \frac{h_m}{D_m}$$

rugosité d'ondulation



$$E_1 = \frac{P}{\rho} + z + \alpha \frac{U^2}{2g}$$

unité de puissance

perte de charge ($E_2 - E_1$)

7 variables physiques indépendantes:

- liquide ρ , η , U , Δp
- canalisation D , h , L
- (h = rugosité d'aspérités)

Relées par 1 relation

On peut former 4 variables réduites indépendantes

$$\epsilon = \frac{h}{D}$$

$$\frac{L}{D}$$

$$Re = \frac{UD}{\eta}, \text{ et } \left(\frac{\Delta p}{\rho} / \frac{U^2}{2} \right)$$

(59)

(60)

$$\frac{\Delta p}{\rho \frac{U^2}{2}} = f(\epsilon, Re, \frac{L}{D})$$

$$\rightarrow \Delta p = \rho \frac{U^2}{2} \cdot \frac{L}{D} \cdot F(\epsilon, Re)$$

(si l'écoulement n'est pas horizontal)

$$\Delta \left(\frac{P}{\rho} + gz \right) = \frac{U^2}{2} \cdot \frac{L}{D} \cdot F(\epsilon, Re)$$

$$\Delta \left(\frac{P}{\rho} + z \right) = \Delta H = \frac{U^2}{2g} \frac{L}{D} F(\epsilon, Re)$$

(dans le cas de l'équation de Bernoulli $F = \frac{64}{Re}$)

Cas général: écoulement turbulent

Von Karman et Prandtl a trouvé pour les tuyaux lisses:

$$\frac{1}{\lambda} = -0,8 + 2 \log_{10} \cdot Re \sqrt{\lambda}$$

Tuyaux rugueux:

$$\frac{1}{\lambda} = 1,74 + 2 \log_{10} \frac{D}{2h} \quad h = \text{rugosité}$$

(61)

61 bis

Blasius $2 \cdot 10^3 < Re < 8 \cdot 10^4 \rightarrow \lambda = 0,316 Re^{-\frac{1}{4}}$
et $Re > 10^5 \rightarrow \lambda = 0,0032 + 0,221 \cdot Re^{-0,237}$

Newtton

Perdes de charge

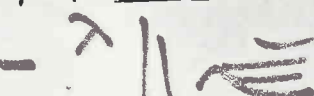
formules du type: $V = C \sqrt{Re}$ Formule de COLE BROOK:

$$\frac{1}{R} = -2 \log_{10} \frac{2,51}{Re \sqrt{D}} \quad \text{tuyau lisse}$$

$$\frac{1}{R} = -2 \log_{10} \frac{h}{3H.D}$$

→ selon COLE BROOK:

$$\frac{1}{R} = -2 \log \left(\frac{2,51}{Re \sqrt{D}} + \frac{h}{3,71 \cdot D} \right)$$

Diagramme de MOODY (poly. p. 15)W.H. Moody et Schlieren → 

Formules classiques anciennes

$$\frac{1}{4} D. \lambda = \phi(u)$$

$$\frac{D}{4} = R_e \quad Re$$

$$\lambda = \frac{\Delta H}{L}$$

$$\Delta p = \rho \cdot \frac{U^2}{2} \cdot \frac{L}{D} \cdot \lambda$$

$$\Delta H = \frac{P}{\rho g}$$

$$\frac{\Delta H}{L} = \frac{U^2}{2g} \cdot \lambda$$

$$\rightarrow D. \lambda = D \frac{\Delta H}{L} = \lambda \frac{U^2}{2g}$$

$$\phi(u) = \frac{\lambda U^2}{8g}$$

Journoud

on $\frac{D}{4} \lambda = \frac{6}{4} U^2$

on $\boxed{\lambda = \frac{2 U^2}{g D}}$ $\Delta H = \lambda \frac{L}{D} \frac{U^2}{2g}$

Pour les conducts circulaires

DARCY: $\frac{1}{4} D \lambda = (\alpha + \beta) U^2 \quad 1856$

M. Lévy:

Flamant: (1892) $J = K \cdot V^{\frac{7}{4}} D^{-\frac{5}{4}}$

Lazard 1935

Koch et Vibert 1942

etc...

Formule de Dupuit: $\phi(u) = k u^2$

$$k = 0,0001$$

$$k = 0,0006$$

tuyaux lisses

rigoureux

Formule de Darcy: $\phi(u) = (\alpha + \frac{\beta}{D}) U^2$

$$(d = 0,000507)$$

$$(\beta = 0,00001294)$$

Formule de FLAMANT $\phi(u) = \alpha \sqrt[3]{\frac{U^2}{D}}$ avec

$$\alpha = 0,00023$$
 (fonte)

Formule de LEVY: $\phi(u) = \frac{U^2}{2\alpha^2 \left(1 + 3\sqrt{\frac{D}{2}} \right)}$

Formule pratique:

$$\Delta H = \gamma L Q^2$$

$$\gamma = \frac{\lambda}{2g} \cdot \frac{16}{\pi^2} \cdot \frac{1}{D^5} \quad \text{en effet}$$

$$J = \frac{\Delta H}{L} = \left(\frac{\lambda}{2g} \cdot \frac{16}{\pi^2} \cdot \frac{1}{D^5} \right) Q^2, \quad \text{car } U = \frac{Q}{S}$$

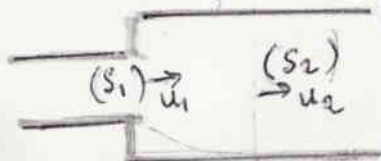
$$U^2 = \frac{Q^2}{S^2} = \frac{Q^2}{\pi^2 D^6 / 16}$$



(64)

Perdes de charge singulières (ou locales)

Théorème de Bélanger



On applique le théorème d'EULER.

$$\frac{d}{dt} \sum mV = \frac{1}{dt} [\rho Q dt (U_2 - U_1)] = \\ = \rho Q (U_2 - U_1) = \rho S_2 U_2 (U_2 - U_1)$$

= force extérieure $S_2 (p_1 - p_2) \rightarrow$

$$\rho S_2 U_2 (U_2 - U_1) = S_2 (p_1 - p_2)$$

$$\rightarrow -U_2 U_1 + U_2^2 = \frac{P_1}{\rho} - \frac{P_2}{\rho}$$

$$\rightarrow \frac{P_1}{\rho} - \frac{P_2}{\rho} = \left(\frac{U_1^2}{2} - \frac{2U_1 U_2}{2} + \frac{U_2^2}{2} \right) + \frac{U_2^2}{2} - \frac{U_1^2}{2}$$

$$\text{on } \frac{P_1}{\rho g} + \frac{U_1^2}{2g} = \frac{P_2}{\rho g} + \frac{U_2^2}{2g} + \Delta K$$

perde de charge.

$$\text{avec } \Delta K = \frac{(U_1 - U_2)^2}{2g} = \frac{(\Delta U)^2}{2g}$$

(63)

(65)

Théorème de Belanger

La perde de charge dans un élargissement est égale à la "hauteur capable" de la vitesse perdue.

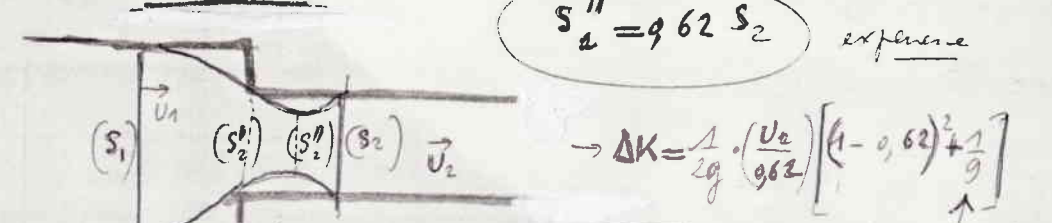
$$\Delta K = - \frac{(U - U_2)^2}{2g} = \frac{1}{2g} U^2 \left(1 - \frac{U_2}{U_1} \right)^2 =$$

(fluides parfaits) $\Delta K = \left(1 - \frac{S_1}{S_2} \right) \frac{U_1^2}{2g} = K \frac{U^2}{2g}$

Terme correctif de BORDA (fluides réels).

$$\Delta K = \left[\left(1 - \frac{S_1}{S_2} \right)^2 + \frac{1}{9} \right] \frac{U^2}{2g}$$

Rétrécissement:

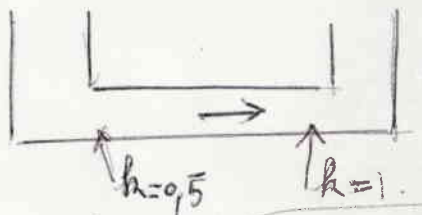


$$\rightarrow \Delta K = \frac{1}{2g} \cdot \left(\frac{U_2}{0,62} \right) \left[\left(1 - 0,62 \right)^2 + \frac{1}{9} \right]$$

Borda

$$\Delta K = 0,5 \frac{U^2}{2g}$$

(65)



Generalisation:

$$\Delta K = \frac{h u^2}{2g}$$

longueur équivalente: $\Delta K = h \frac{U^2}{2g}$

$$\Delta H' = \gamma L' Q^2 = \gamma L' \left(\frac{\pi D^4}{128 f} U^2 \right) = R \cdot \frac{U^2}{2g}$$

$$\Rightarrow L' = \frac{8 h}{g \gamma \pi^2 D^4}$$

Perte de charge dans le tuyaux coniques

longueur L $\phi = D \text{ et } d$

$$\begin{aligned} nL &\geq f(D-d) \quad \leq \quad \left\{ \begin{array}{l} \text{méthode} \\ \text{habituelle} \end{array} \right. \\ L &\geq 4(D-d) \quad \geq \quad \left\{ \begin{array}{l} \text{méthode} \\ \text{habituelle} \end{array} \right. \\ &\quad \quad \quad f = \frac{\lambda v^2}{2g \delta} \end{aligned}$$

$$\text{avec } \delta = D \sqrt[5]{\frac{4n^4(1-n)}{1-n^4}}$$

$$\text{et } n = \frac{d}{D}$$

v = vitesse moyenne

Perte de charge dans les coude

$$\Delta H = \xi \cdot \frac{v^2}{2g} \cdot \frac{2d}{5f} \quad (\text{WEISBACH})$$

v = vitesse moyenne

d = angle au centre (degrés)

$$\xi = 0,13 + 0,16 \left(\frac{d}{r} \right)^{3,5}$$

r = rayon de courbure

d = ϕ intérieur

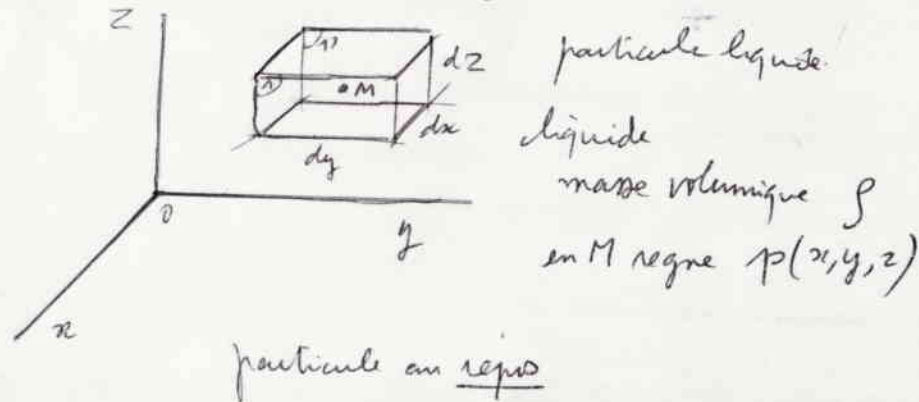
$\frac{d}{r}$	0,4	0,6	0,8	1	1,2	1,4	1,6	1,8	2
ξ	0,14	0,16	0,20	0,30	0,44	0,66	1	1,4	2

Chapitre 100

RAPPELS D'HYDROSTATIQUE

(15)

Eq. fondamentale de l'hydrostatique



Actions de contact:

faces ① et ⑪ ($\perp Ox$):

$$\text{sur } ① \quad \left(p - \frac{\partial p}{\partial x} \frac{dx}{2} \right) dy dz$$

$$\text{sur } ⑪ \quad - \left(p + \frac{\partial p}{\partial x} \frac{dx}{2} \right) dy dz$$

---- et ----

(②)

(③)

(④)

forces massiques:

$$\vec{F} \cdot dm$$

$$\begin{cases} x, \text{dm} \\ y, \text{dm} \\ z, \text{dm} \end{cases}$$

$$\text{avec } dm = \rho (dx dy dz).$$

→ les 3 eq. d'équilibre:

$$\left(p - \frac{\partial p}{\partial x} \frac{dx}{2} \right) dy dz - \left(p + \frac{\partial p}{\partial x} \frac{dx}{2} \right) dy dz + \rho x dx dy dz = 0$$

$$\rightarrow \frac{\partial p}{\partial x} = \rho X \quad (1)$$

$$\frac{\partial p}{\partial y} = \rho Y \quad (2)$$

$$\frac{\partial p}{\partial z} = \rho Z \quad (3)$$

on a une forme vectorielle



(16)

(17)

Pour une
quantité de fluid
= unité de volume

$$\overrightarrow{\text{grad } p} = \rho \cdot \vec{F}$$

unité de masse: $\frac{1}{\rho g} \overrightarrow{\text{grad } p} = \vec{F}$

— de pression: $\frac{1}{\rho g} \overrightarrow{\text{grad } p} = \frac{\vec{F}}{g}$

Additivit  s (1)+(2)+(3) \rightarrow appr  x par des   tages.

$$\frac{\partial p}{\partial x} dx + \frac{\partial p}{\partial y} dy + \frac{\partial p}{\partial z} dz = \rho(x dx + y dy + z dz)$$

differentialle totale de p

fonction de x, y, z

(non de t car repes)

$$p = ct$$

donc

$x dx + y dy + z dz$
est une
differentialle
totale

Il en suit que:

$$dp = \rho \cdot dU = -g \cdot dV$$

$$U = U(x, y, z) = \text{fonction de force}$$

potentiel

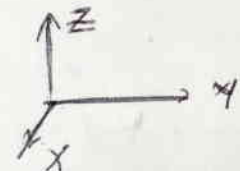
(18)

Il ne peut y avoir d'  quilibre que si les forces marqu  es d閦ivent d'un potentiel

Equilibre d'un liquide unissons uniquement
a la pesanteur :

a) $U = -gz + ct$ ou $\bar{U} = gz + ct$

par exemple $\begin{cases} x=0 \\ y=0 \\ z=-g \end{cases}$



$$\rightarrow (dp = -\rho g dz = -w \cdot dz)$$

ou $dp + w \cdot dz = 0$

formule fondamentale

b) Surfaces d'  gale pression: $U = ct$

$$dp = \rho \cdot dU = -w \cdot dz = 0$$

plans horizontaux

c) Difference de pression entre deux points

$\downarrow \rightarrow M_1 (z_1)$

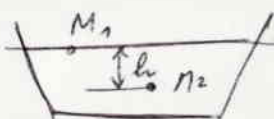
$\rightarrow M_2 (z_2)$

$$p_2 - p_1 = \omega (z_1 - z_2) \quad (> 0)$$

d) pression absolue

$$p_e = p_a + \omega (z_1 - z_2) = p_a + \omega h$$

pression absolue en M_2



$$\omega h = p_e - p_a$$

pression relative

application: "graphique des pressions"

e) équation générale:

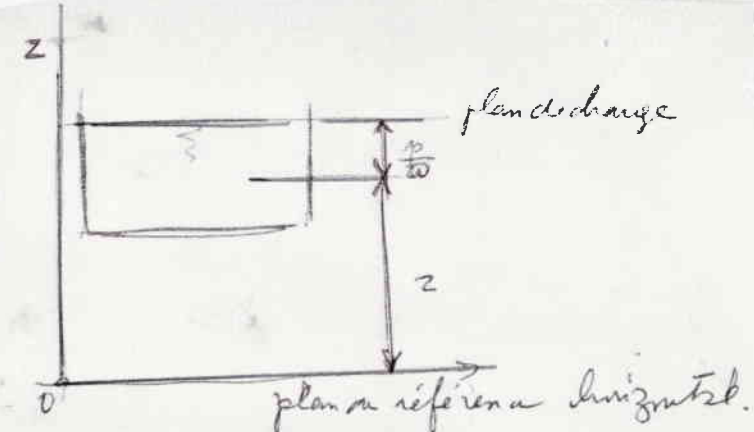
$$p_1 + \omega z_1 = p_2 + \omega z_2 = \text{cte}$$

$$(p_1 - p_a) + \omega z_1 = (p_2 - p_a) + \omega z_2$$

on $\left[z + \frac{p}{\omega} = \text{cte} \right]$ pour l'unité de poids

enrgie de position enrgie de pression (toutes les particules ont même énergie)

(19)



(20)

Principe de PASCAL :

a) $p_2 = p_1 + \omega (z_1 - z_2)$ →

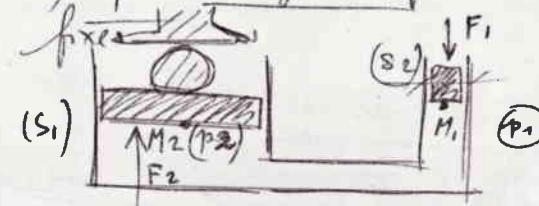
$$p_2 + \Delta p_2 = p_1 + \Delta p_1 + \omega (z_1 - z_2)$$

$$\rightarrow \Delta p_2 = \Delta p_1$$

les liquides incompressibles transmettent les pressions.

(les solides rigides transmettent les forces)

b) messe hydraulique



$$\frac{F_1}{S_1} = \frac{F_2}{S_2}$$

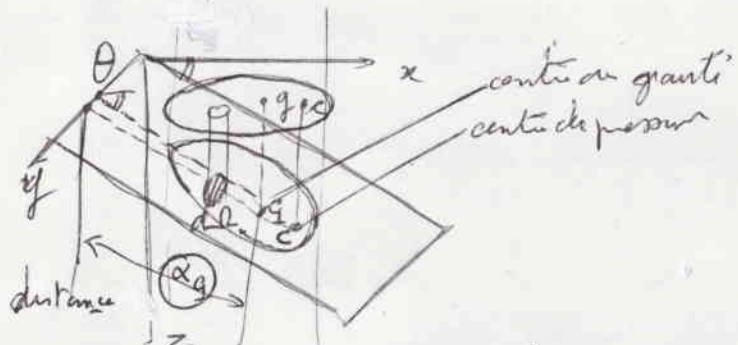
(21)

RÉSULTANTE DES PRESSIONS SUR UNE PAROI

Paroi plane

force élémentaire: $dR = p \cdot d\Omega$

Réultante \vec{R} normale à la paroi appliquée au centre de pression



$$\text{Résultante } R = \int_{\Omega} \omega_z d\Omega = \omega \int_{\Omega} z d\Omega = \omega \cdot \frac{\int z d\Omega}{\int d\Omega}$$

$$\rightarrow z_g = g_q$$

$$R = \omega \cdot \Omega \cdot z_g$$

$$= p_g \cdot \Omega$$

point d'application

LOS ECOULEMENTS SOUS PRESSION
Problèmes techniques et pratiques.

(A) le calcul des réseaux de canalisations

1° les réseaux

2° généralités sur les méthodes de calcul

(B) Problèmes relatifs aux conduites simples et complexes

1° Conduite débouchant à queue bée

2° Conduite reliant 2 réservoirs

(C) Problèmes relatifs à les conduites ramifiées ou maillées

1° Conduites ramifiées

2° Vanne alimentée par 2 réservoirs

3° Conduite multiple

4° Maillé - méthode de Hardy-Cross

(D) Problèmes spéciaux

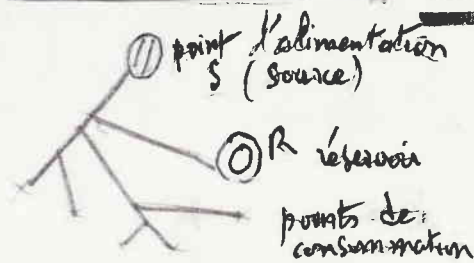
1° Service en route

2° Conduites déforlement

CHAPITRE 4

66 LE CALCUL DES RESEAUX DE
CANALISATIONS

67 10/ Les réseaux



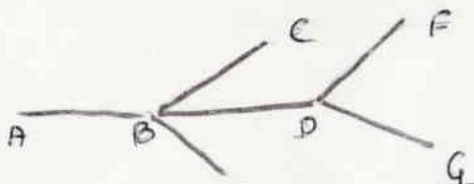
conduite simple

$$\xrightarrow[A]{L_1 D_1 \gamma_1} B$$

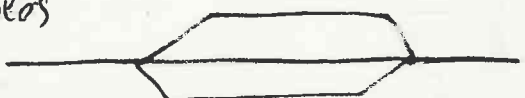
Conduites complexes / mixtes

$$\xrightarrow[A]{L_1 D_1 \gamma_1} B \quad \xrightarrow[B]{L_2 D_2 \gamma_2} C \quad \xrightarrow[C]{L_3 D_3 \gamma_3} D$$

Conduites ramifiées

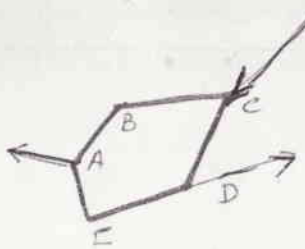


conduites multiples

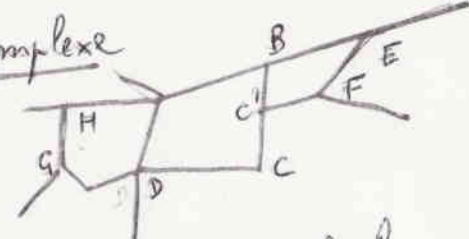


maillles

maille simple
(polygone)



maille complexe



2/ Généralités sur les méthodes de calcul

Données niveaux des réservoirs
points où alimenté
longueur de conduites

Inconnues Φ des conduites

les débits sont des données mesurées

Méthode de calcul

2) en un point de ramifications (noeud)
la somme algébrique des débits est
nulle

$$\sum Q = 0$$

b) le long de chaque tronçon la perte de charge obéit à la loi de base
Si l'on fait le tour d'une maille la perte de charge est nulle

$$A_1 \quad A_2$$

$$E_2 = E_1 + \left(\text{perde de charge} \right) \frac{A_2}{A_1}$$

(68)

Cancelation

$\varphi_{100 \text{ mm}} \quad \gamma$

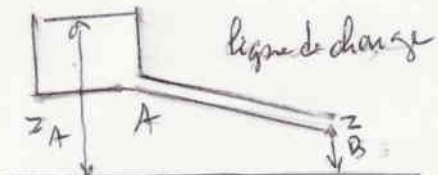
$$U \quad J = \frac{\Delta H}{L} = \gamma Q^2 / Q$$

abques à points alignés

(B)

Problèmes relatifs à des conduites simples et mixtes

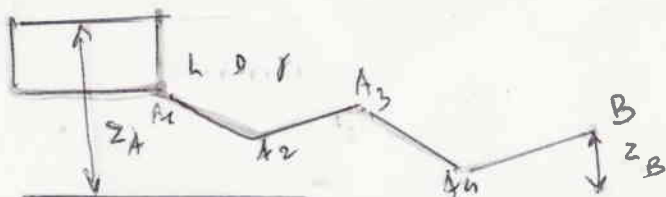
1^o) Conduites débouchant à grande hauteur



$$\text{charge en } B = z_B + \alpha \frac{V^2}{2g}$$

2^o) Conduite mixte

$$\Delta H = \sum \frac{B}{A}$$



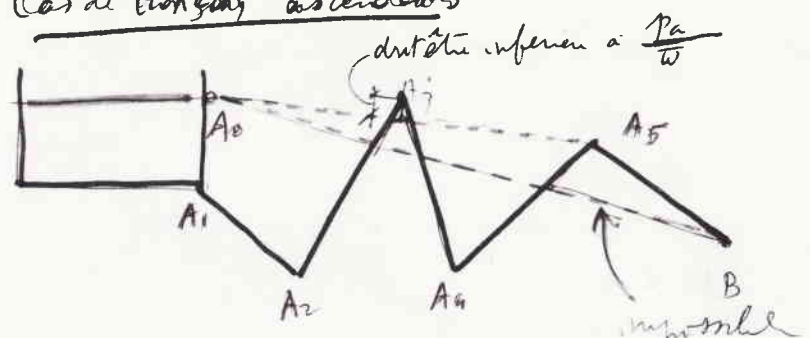
(69)

$$z_A = z_B + \underbrace{\alpha \frac{V^2}{2g}}_{\text{negligé}} + (\text{pertes de charge})_A^B$$

$$\Delta H = Q^2 \sum \gamma_i L_i \rightarrow Q^2 = \frac{\Delta H}{\sum \gamma_i L_i}$$

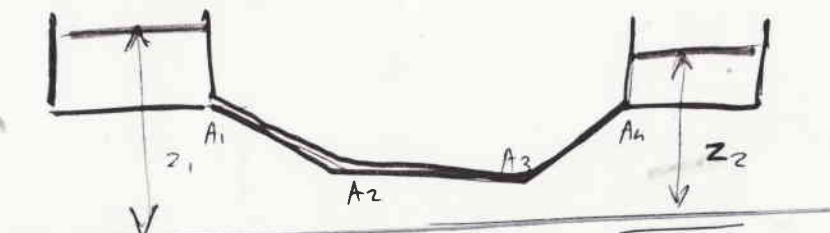
longueurs équivalentes $L_e = \sum \gamma_i L_i$

Cas de tronçons ascendents



écoulement libre de A5 à B

2e) Conduite reliant 2 réservoirs



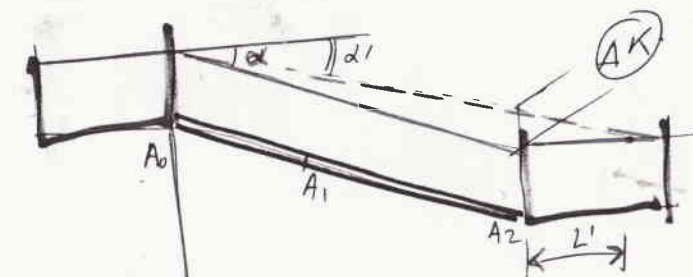
$$z_1 - z_2 = \sum \gamma_i L_i \quad Q^2 = \Delta H \rightarrow Q_2 = \sqrt{\frac{\Delta H}{\sum \gamma_i L_i}}$$

(70)

(D)

Conduite simple avec pertes de charge locales entre R1 et R2

$$\text{1er approximation} \quad \tau g \alpha = J = \gamma Q^2$$



$$\left| \begin{array}{l} K_0 = 0,5 \\ K_1 = 5 \quad (\text{panier}) \\ K_2 = 1 \end{array} \right.$$

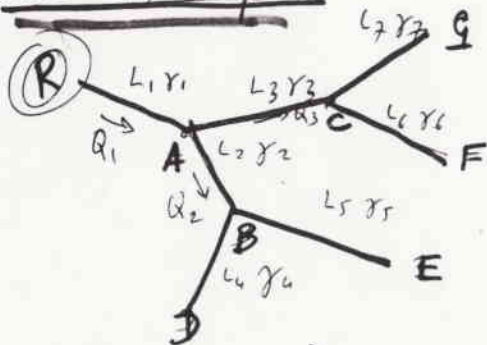
$$\Delta K = \sum \Delta K_i = \frac{U^2}{2g} \sum k_i \quad (\text{si } \phi = \text{cte}).$$

$$\boxed{(z_1 - z_2) - K = Q'^2 \gamma L} \quad (Q' = 2e \text{ approximation})$$

C Problèmes relatifs aux conduites ramifiées et mélange

72

10) Conduites ramifiées



$$\left\{ \begin{array}{l} Q_1 = Q_2 + Q_3 \\ Q_2 = Q_4 + Q_5 \\ Q_3 = Q_F + Q_9 \end{array} \right. \quad \left. \begin{array}{l} \\ \\ \end{array} \right\} 3 \text{ relations}$$

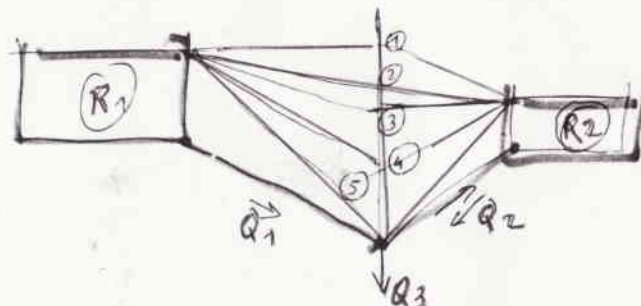
environ aussi 4 relations : théorème de Bernoulli entre R et chaque extrémité

$$\left\{ \begin{array}{l} \Delta z_1 = \gamma_1 L_1 Q_1^2 + \gamma_2 L_2 Q_2^2 + \gamma_4 L_4 Q_4^2 \\ " = \\ " = \\ \Delta z_4 = \gamma_1 L_1 Q_1^2 + \gamma_3 L_3 Q_3^2 + \gamma_7 L_7 Q_7^2 \end{array} \right.$$

7 relations et 7 inconnues (les Q_i)

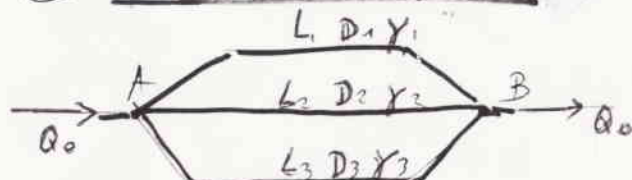
73

11) Vanne alimentée par 2 réservoirs



$$\text{poly. } p^{33}$$

12) Conduites multiples



$$Q_0 = Q_1 + Q_2 + Q_3$$

$$[A.FE]_A^B = \gamma_1 L_1 Q_1^2 = \gamma_2 L_2 Q_2^2 - \gamma_3 L_3 Q_3^2$$

$$\rightarrow \frac{1}{Q_1 \sqrt{\gamma_1 L_1}} = \frac{1}{Q_2 \sqrt{\gamma_2 L_2}} = \frac{1}{Q_3 \sqrt{\gamma_3 L_3}}$$

$$Q_0 = Q_1 + Q_2 + Q_3$$

(74)

$$Q_0 = Q_1 + Q_2 + Q_3$$

avec $\frac{1}{Q_1 \sqrt{\gamma_1 L_1}} = \frac{1}{Q_2 \sqrt{\gamma_2 L_2}} = \frac{1}{Q_3 \sqrt{\gamma_3 L_3}}$

$$\rightarrow \frac{Q_1}{(\gamma_1 L_1)^{-1/2}} = \frac{Q_2}{(\gamma_2 L_2)^{-1/2}} = \frac{Q_3}{(\gamma_3 L_3)^{-1/2}} =$$

$$= \frac{Q_0}{\sum (\gamma_i L_i)^{-1/2}}$$

$$\rightarrow Q_i = Q_0 \cdot \frac{(\gamma_i L_i)^{-1/2}}{\sum (\gamma_i L_i)^{-1/2}}$$

Conduite équivalente à la conduite multiple

$$(\gamma_e L_e)^{-1/2} = \sum (\gamma_i L_i)^{-1/2}$$

$$[\Delta H]_A^B = \gamma_e L_e Q_0^2$$

$$= \gamma_i L_i Q_0^2$$

29) Conduites de refoulement:

données Q_0, H, L
inconnue: diamètre de la conduite

On a:

$$\Delta H = \gamma L Q_0^2$$

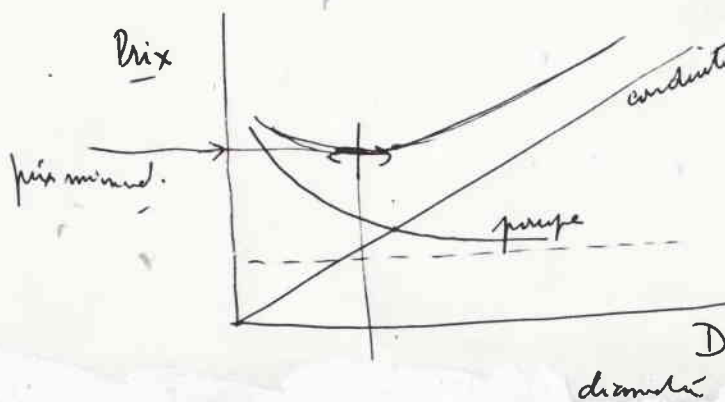
Le puissance de la pompe est:

$$N = \frac{\rho Q_0}{\eta} (H + \gamma L Q_0^2)$$

η = rendement ; énergie à fourni par unité de puissance

Théoriquement le problème est satisfait quel que soit D
En pratique on recherche la moindre dépense totale:

- (a) coût de l'installation
- (b) entretien et exploitation



(78)

Durée normale d'amortissement = 10 ans

Prix de la conduite: $P_c = p_c L D$

$p_c = \text{prix/m} \text{ pour } \phi = 1 \text{ m.}$ $\begin{cases} (105)^\alpha \\ (1,20) \end{cases}$
entretien

Prix du groupe moteur pompe:

$$P_m = p_m \cdot N$$

$$\text{avec } p_m = p_1 + p_2 + p_3$$

$$\left. \begin{array}{l} p_1 = \text{achant entretien} \\ p_2 = \text{énergie par unité de puissance} \\ p_3 = \text{puissance} \end{array} \right\}$$

On veut que $(P_c + P_m)$

soit minimal

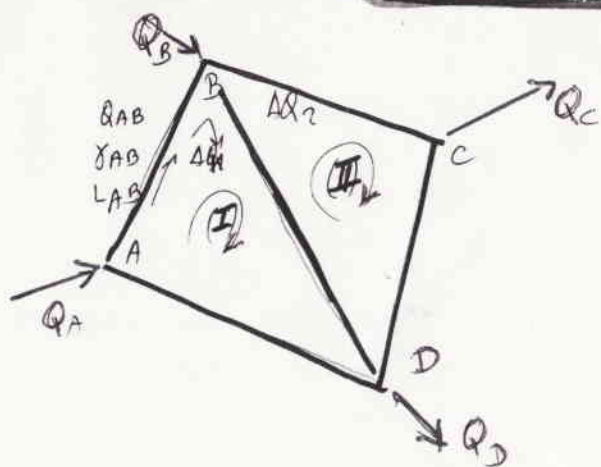
$$(a) \quad \gamma = \frac{8 \lambda}{g \pi^2} \frac{1}{D^5}$$

(79)

⑥

Martells

méthode de Hardy-Cross



inconnues: q_{ij} de chaque brin son

rule des martells:

$$\textcircled{I} \quad \sum q_{ij}^2 \cdot \gamma_{ij} = A_1 \quad (\neq 0 \text{ en general.})$$

$$\textcircled{II} \quad \sum q_{ij}^2 \cdot \gamma_{ij} = A_2 \quad (\neq 0 \text{ . . . })$$

on prend

$$q'_{ij} = q_{ij} + \Delta q_{ij}$$

$$\sum q'^2_{ij} \gamma_{ij} = \sum q^2_{ij} \gamma_{ij} + \sum q_{ij} \Delta q_{ij} + \sum \gamma_{ij} \Delta q_{ij} = 0$$

Δq_{ij} est le même pour tous les triangles (I)

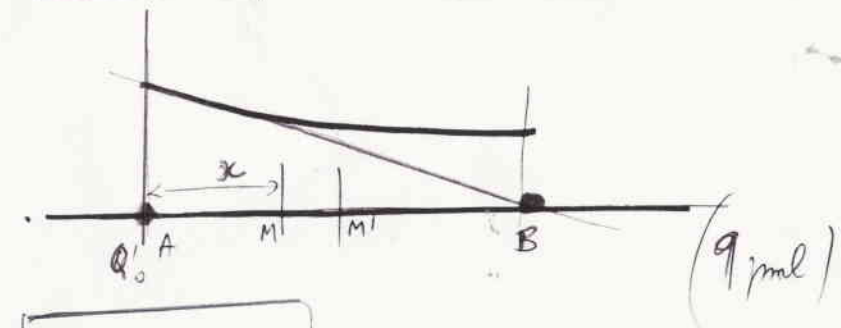
75

$$\rightarrow \Delta q = \frac{-\sum q_{ij}^2 \cdot \gamma_{ij}}{2 \sum \gamma_{ij} \cdot q_{ij}}$$

somme aléatoire
somme arithmétique

76

⑦ Problèmes spéciaux. 10/ service en route



$$Q_M = Q_0 - qx$$

$$[\Delta H]_M^M = \gamma Q_M^2 dx = \gamma (Q_0 - qx)^2 dx$$

$$[\Delta H]_A^M = \int_0^x \gamma (Q_0 - qx)^2 dx =$$

$$= \gamma \left(Q_0^2 x - Q_0 q x^2 + q^2 \frac{x^3}{3} \right) =$$

$$= \gamma x \left(Q_0^2 - Q_0 q x + q^2 \frac{x^2}{3} \right)$$

$$\text{et } q = \frac{Q_0}{L}$$

→

(80)

Remarque: en pratique λ ne dépend pas de R_e

(dans un matériau donné $\lambda = \text{cte}$ pour un diamètre donné)

$$\rightarrow P = p_c L D + p_m \frac{\theta}{r} Q_o \left[H + \frac{8}{g\pi^2} \frac{1}{D^5} L Q_o^2 \right]$$

et pour avoir le prix minimal: $\boxed{\frac{dP}{dD} = 0} \rightarrow$

$$L \left[p_c + p_m \cdot \frac{8 \bar{w} Q_o^3}{rg\pi^2} \cdot \frac{(-5\lambda)}{D^6} \right] = 0 \rightarrow$$

diamètre économique $\boxed{D = \sqrt{\frac{6}{pc} \cdot \frac{40\lambda}{rg\pi^2} \cdot \sqrt{Q_o}} = K\sqrt{Q_o}}$

avec $K = \sqrt{\frac{6}{pc} \cdot \frac{40\lambda}{rg\pi^2}}$

' λQ_o en m^3/s on trouve 1,25 ($K < 1,75$)
au début au netto - (formule de BAZIN)

$$\boxed{D = 1,5\sqrt{Q_o}} \quad \text{conducteur roulé}$$

$$\left. \begin{array}{l} \rightarrow \frac{D^2}{Q} = 2,25 \text{ avec } Q = V \cdot \pi \cdot \frac{D^2}{4} \\ \rightarrow \frac{D^2}{Q_0} = \frac{4}{\pi V} \rightarrow V = 0,58 \text{ m/s} \end{array} \right\}$$

M'VIEBERT a repris cette formule avec les vitesses économiques de 1970 \rightarrow

$$\boxed{D_{\text{mètre}} = 1,547 \left(\frac{n \cdot e}{f} \right)^{0,154} \cdot Q^{0,46}}$$

avec Q en m^3/s

n = rapport d'utilisation

si la pompe tienne 18 $\frac{h}{min}$ $\rightarrow n = 0,95$

e = prix du kWh

f = prix du kg de conduct

vitesse économique: $\rightarrow \underline{V = 1,60 \text{ m/s.}}$

ORIFICES ET AJUTAGES

A) Orifices

1^e Définition

2^e Formules fondamentales

Laws des vitesses

— les débits

3^e Problèmes d'ajutages

a) Vanne au fond

b) Orifice de grande hauteur

c) Vidange d'un réservoir
par le fond

4^e Orifices divers.

B) Ajutages

1^e ajutage extérieur

a) allure au phénomène

b) étude quantitative

c) pression en B'

2^e ajutage rentrant

2^e visibilité motrices forcées (exercice)

en deçà

ORIFICES - AJUTAGES

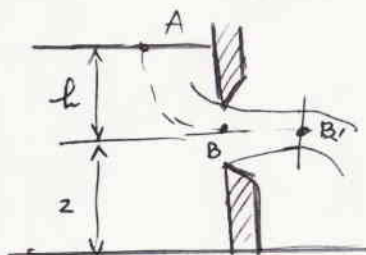
A ORIFICES

1) Définition

Orifice en surface d'eau

Ton dans une paroi de réservoir

$$e < \frac{D}{2}$$



Section contractée

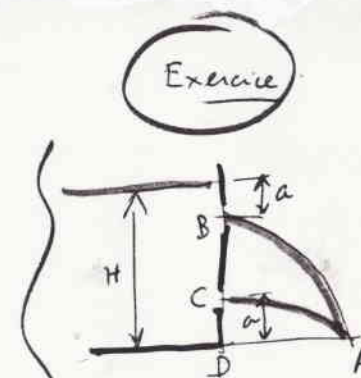
2) Formules fondamentales : $E = z + h$
 $= z + \frac{P}{\rho g}$

formule de TORRICELLI :

a) l'écoulement $V_B = \sqrt{2gh}$

(82)

Exercice



$$\rightarrow t_B = \sqrt{\frac{2(H-a)}{g}}$$

$$DA = V_B \cdot t_B$$

$$= \sqrt{2gh} \cdot \sqrt{\frac{2(H-a)}{g}} = 2\sqrt{a(H-a)}$$

Résultat symétrique sur a et (H-a)

(83)

$$V_B = \sqrt{2gh}$$

durée de chute de B au niveau de D = t_B

$$sur la verticale BD = \frac{1}{2}gt_B^2$$

(84)

b) loi des débits

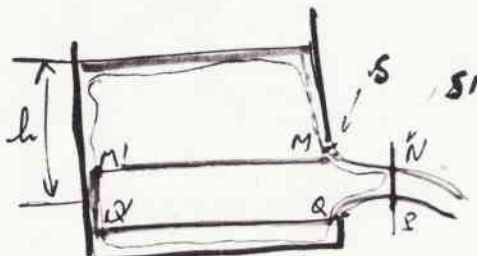
$$b' = \nu b$$

($\nu = \text{coeff de contraction}$)

$$0,59 < \nu < 0,71$$

$$Q = V_{B'} \cdot b'$$

$$\rightarrow Q = \mu \sqrt{2gh} \times (V_B) = \frac{m \rho \sqrt{2gh}}{}$$

avec $\mu \approx 0,99$ avec $m = \rho \cdot V =$ avec $0,57 < m < 0,70$ 

$$\frac{dmV}{dt} = \sum \text{forces extérieures}$$

au M'Q la force de pression est

$$(wh + p_a)s$$

différence
 whs

au MNQ la force est

$$p_a s$$

EULER

$$\text{or } \frac{dmV}{dt} = \frac{\rho g dt \cdot V}{dt} = \rho \cdot V \cdot b' \cdot V = \rho b' V^2 = \rho b' egh$$

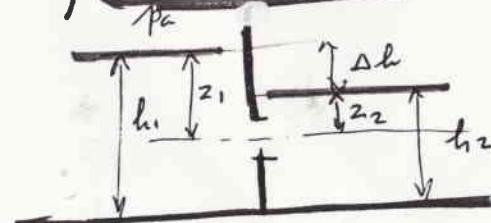
$$\rightarrow whs = \rho b' egh$$

$$\rightarrow b = eb' \rightarrow V = 0,5$$

(85)

39 Problème classique

a) Vanne du fond



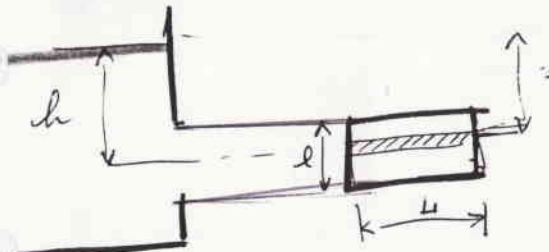
$$z_1 + \frac{p_a}{\rho g} = \frac{V_{B'}^2}{2g} + z_2 + \frac{p_a}{\rho g}$$

$$z_1 - z_2 = \Delta h = \frac{V_{B'}^2}{2g}$$

$$\rightarrow V_{B'} = \sqrt{g \Delta h}$$

b) Orifice de grande hauteur

on intègre.



$$dq = m(L dz) \sqrt{2g z} \quad (\text{Torricelli})$$

$$Q = \int_{z_1}^{z_2} m L \sqrt{2g} \sqrt{z} dz \quad \text{avec } z_2 - z_1 = l$$

$$\rightarrow Q = m \cdot L \cdot l$$

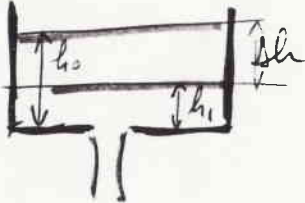
$$\frac{z_2^{\frac{3}{2}} - z_1^{\frac{3}{2}}}{z_2 - z_1}$$

$$Q = m \cdot \rho \cdot V_{egh}$$

la loi est générale:

c) l'échange d'un réservoir par le fond:

$$Q \cdot dt = dV = -S \cdot dh$$



$$m \cdot \rho \cdot V_{egh} \cdot dt = Q \cdot dt$$

$$dt = -\frac{S \cdot dh}{m \cdot \rho \cdot g} = -\frac{S}{m \cdot \rho \cdot g} \cdot \frac{dh}{V}$$

$$\rightarrow t_1 = \frac{2S}{\rho g m s} (\sqrt{h_0} - \sqrt{h_1})$$

Duree de vidange. $h_1 = 0$

$$\rightarrow T = \frac{2 \times \text{volume du réservoir}}{Q_0} = \frac{2 S h_0}{m \cdot \rho g h_0}$$

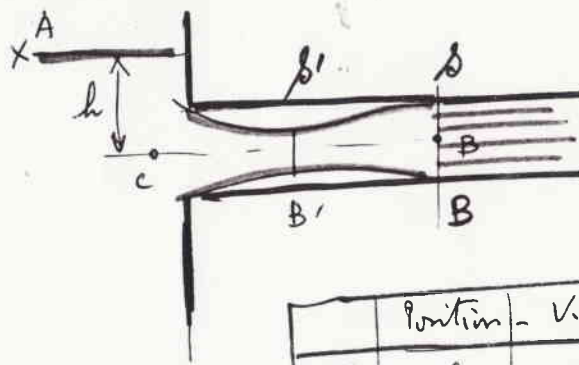
4) Orifices divers:

$$\text{Orifice à vitesse moyenne: } Q = m' \cdot V_{egh}$$

$$m' = 0,98$$



⑩ Ajutage extérieur: a) allure du phénomène



Point	Position	Vitesse	Pression
A	h	0	p_a
C	0	v_c	p_a + rho g h
B'	0	v_{B'}	p_{B'}
B	0	v_B	p_a

b) étude quantitative (pertes nulles)

$$H = \frac{V_B^2}{2g} + \text{perte de charge totale à la sortie du réservoir}$$

$$= \frac{1}{2} \frac{V_B^2}{2g}$$

$$\rightarrow \frac{V_B^2}{2g} = \frac{2}{3} h \quad \rightarrow V_B = 0,82 \sqrt{2gh}$$

$$\text{et } Q_B = 0,82 s \sqrt{2gh}$$

(au lieu de $0,62 s \sqrt{2gh}$ pour un orifice)

c) Pression en B' (au point de contraction)

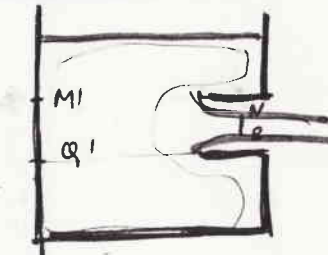
$$Q = V_B \cdot s = V_{B'} \times 0,62 s$$

$$V_{B'} = \frac{V_B}{0,62} = 1,32 \sqrt{2gh}$$

$$\frac{P_{B'}}{\omega} + \frac{V_{B'}^2}{2g} = \frac{P_a}{\omega} + \frac{V_B^2}{2g} \rightarrow \frac{P_a}{\omega} - \frac{P_{B'}}{\omega} = h [(1,32)^2 - (0,82)^2]$$

88

20 ajustage ventant:

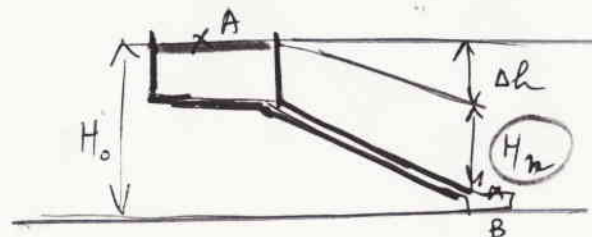


$$q = 0,5 s \sqrt{2gh}$$

l'expérience confirme le calcul.

$$m \neq 0,5$$

30 Conduites motrices ou frîes:



$$H_o = \underbrace{\frac{V^2}{2g} + \frac{P}{\omega}}_{= H_n} + [\Delta H]_A^B$$

$$\text{rendement } \gamma = \frac{H_n}{H_o} = 1 - \frac{\Delta H}{H_o}$$

Choix du diamètre :

On prend souvent $\gamma = 0,9 \rightarrow \Delta H = 0,1 H_0$

Exercice

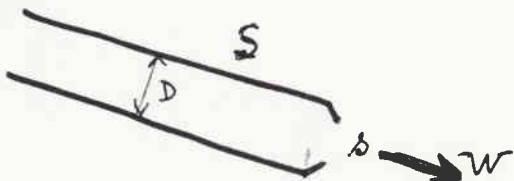
Energie de vitesse - Ajutage variable

$$V = \sqrt{2g H_0}$$

$$V = \rho \sqrt{2g H_0} = \sqrt{2g H_m}$$

$$H_m = \rho^2 H_0$$

ρ = coefficient de réduction
(ne pas confondre avec le rendement)



$$H_0 = \alpha \frac{w^2}{2g} + \left[\gamma L Q^2 + \sum k_i \frac{V^2}{2g} + \frac{\lambda w^2}{2g} \right]_A^B$$

$$Q = V \cdot S = m \cdot s \cdot W$$

$$S = \frac{\pi D^2}{4} \rightarrow V^2 = \frac{Q^2}{S^2} = \frac{16 m^2 s^2 w^2}{\pi^2 D^4}$$

(9c)

$$\rightarrow H_0 = (\alpha + \lambda) \frac{w^2}{2g} + B^2 \left(\gamma g L m^2 + \frac{16 m^2 \sum k_i}{\pi^2 D^4} \right) \frac{w^2}{2g}$$

puis A = $\alpha + \lambda$

$$B = \gamma g L m^2 + \frac{16 m^2 \sum k_i}{\pi^2 D^4}$$

$$\rightarrow H = A \frac{w^2}{2g} + B \rho^2 \frac{w^2}{2g}$$

$$\rightarrow w = \sqrt{\frac{2g H_0}{A + B \rho^2}} = \rho \sqrt{2g H_0}$$

$$\rho = \text{coefficient de réduction} = \frac{1}{\sqrt{A + B \rho^2}}$$

$$Q = m \cdot s \cdot W = \frac{m \sqrt{2g H_0}}{\sqrt{\frac{A}{s^2} + B}} = m \rho \sqrt{2g H_0}$$

(92)

Puissance disponible:

$$P = \omega Q H_0$$

$$= \omega Q g^2 H_0$$

$$= \omega m s g^3 H_0 \sqrt{2g H_0}$$

on

$$\boxed{P = K s g^3}$$

avec $K = \omega m H_0 \sqrt{2g H_0}$

K ne dépend que des données initiales

maximum de P_m quand s varie:

$$\frac{dP_m}{ds} = K \cdot \frac{A - 2Bs^2}{(A + Bs^2)^{5/2}}$$

$$\rightarrow \boxed{s = \sqrt{\frac{A}{2B}}}$$

(93)

$\delta \approx 1$

et n les pertes de charge
locales sont négligeables :

$$P_m = Q \times \frac{2H}{3} = \frac{2}{3} Q \cdot H$$

=

L'écoulement libre

A) Aspects généraux.

- 1/ Définition
- 2/ Propagation d'une petite perturbation
- 3/ Régime laminaire ou turbulent
 - Régime fluide ou torrentiel
- 4/ Distribution des vitesses et des pressions
- 5/ "charge et" charge spécifique"

B) Le régime uniforme

- 1/
- 2/ Régime uniforme laminaire
- 3/ — — turbulent

C) Problèmes pratiques.

(95)

L'ECOULEMENT LIBRE

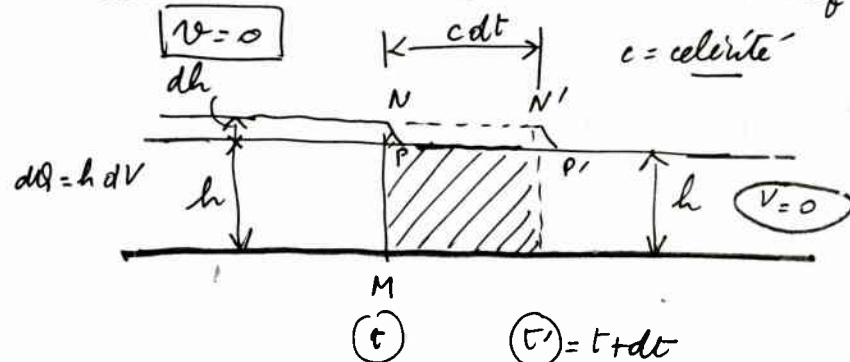
(A1) Aspects généraux: (jusqu'à p. 101)

1^o Définition: l'écoulement libre est un écoulement où le fluide, au niveau supérieur est en contact avec l'atmosphère.

à la surface libre $p = \text{cte} = p_a$

2^o Propagation d'une petite perturbation

1^{er} Cas vitesse initiale nulle dans un bref:



rendons sur l'unité de largeur

(masse: $\rho \times c \times dt \times h$
chacune)

accélération $\gamma = \frac{dV}{dt}$

puis: $\frac{1}{2} [(h+dh)^2 \omega - h^2 \omega] = \omega h dh$

(96)

$$\rightarrow \omega h dh = \rho c h dV$$

ou

$$g \cdot dh = c \cdot dV$$

(1)

Équation de continuité:

$$dQ/dt = h \cdot dV/dt$$

$$\rightarrow c \cdot dt \cdot dh = dQ/dt = h \cdot dV/dt$$

$$\rightarrow c \cdot dh = h \cdot dV$$

(2)

$$(1) \text{ et } (2) \rightarrow \frac{dV}{dh} = \frac{g}{c} = \frac{c}{h} \rightarrow c = \sqrt{gh}$$

2^{eme} Cas

Si au départ V n'est pas nul
le renouvellement reste le même:

Avant perturbation: h, V

après — $h+dh, V+dV$

mais pour un observateur fixe la perturbation se déplace avec la vitesse $c + V$ si elle va vers l'avant

on $c - V$ — — lammet

(97)

3/ Régime laminaré ou turbulent:
Régime fluvial ou torrentiel.

a) $R_{lh} = \frac{\text{secteur nivillée}}{\text{perimètre moyen}}$

si $Re < 500$ le régime est laminaré

$Re > 500$ Turbulent
 avec $R_e = \frac{UR}{\nu}$

b) autre classification

nombre de Froude:

$$Fr = \frac{U}{\sqrt{gh}} = \frac{U}{c}$$

avec $c = \sqrt{gh}$

si $Fr < 1$: cas d'une perturbation au sens contraire à la vitesse:
 elle peut remonter le courant
 (Régime fluvial) - meanders.

si $Fr > 1$: la perturbation ne peut remonter le courant
 (Régime torrentiel)

si $Fr = 1$ Régime critique

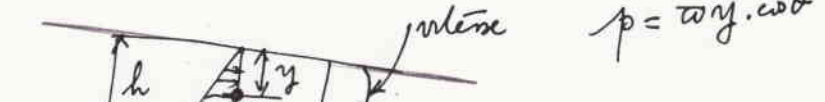
(98)

Cas du régime critique: $U_c = \sqrt{gh}$

$$U_c h_c = q_c$$

$$U_c^2 = g h_c = \left(\frac{q_c}{h_c}\right)^2 \rightarrow q_c^2 = g h_c^3$$

Distribution des vitesses et des pressions:
pression: $p = \rho g y \cdot \cos \theta$



formule de BAZIN: \rightarrow vitesse moyenne:

$$U = V_m - 14\sqrt{Ri}$$

vitesse maxi

i = pente longitudinale

R = rayon hydraulique.

(99)

Charge et charge spécifique:

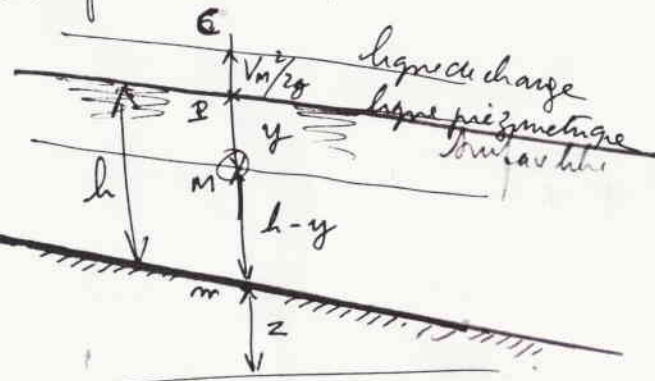
a) charge de la particule fluide de poids unité

$$(E_m) = \left[z + (h - y) \right] + y + \frac{V_m^2}{2g} =$$

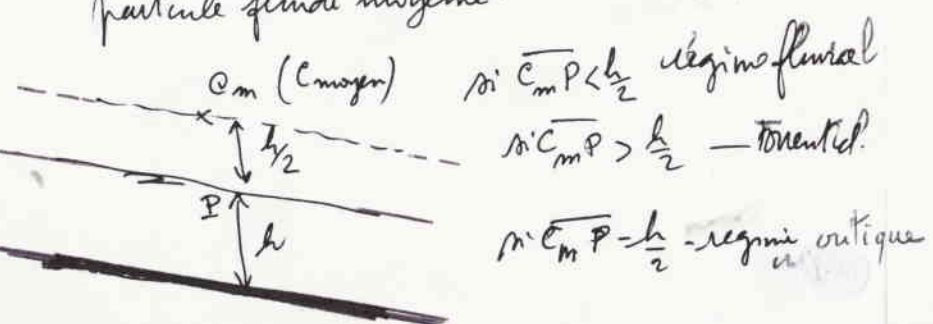
portée poids unité
 $\frac{V_m^2}{2g}$

$$= z + h + \frac{V_m^2}{2g}$$

la ligne pressiométrique est confondue avec la surface libre



particule fluide moyenne:



(100)

b) charge spécifique: $z = 0 \rightarrow$

$$H = h + \frac{V^2}{2g}$$

motin introduite en 1911 par BAKHMETEFF

B)

Le régime uniforme

généralité

régime uniforme laminar

loi de POISEUILLE

PP

PP

101

$$V_r = \frac{1}{4} \frac{\Delta P^*}{l} (R^2 - r^2) \quad \text{avec } P^* = p + \rho \omega z$$

$$\text{remplissons } \frac{\Delta P^*}{l} \text{ par } \frac{\rho \Delta z}{l} = \rho g \frac{\Delta z}{l} = \rho g j$$

(régime uniforme: $I = j$)

$$\boxed{V_r = \frac{1}{4} \frac{\mu}{\rho} j (R^2 - r^2)}$$

$$\rightarrow Q = j \cdot R^4 \frac{\pi g}{16}$$

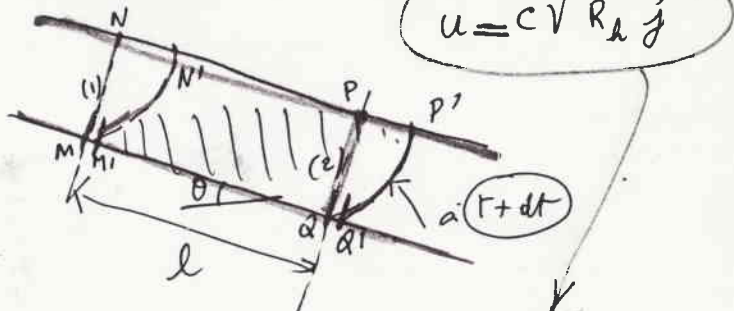
(écoulement dans le tuyau)



30/

Régime uniforme turbulent: a) loi de CHEZY

$$u = C \sqrt{R_a} j$$



$$\text{avec } j = \frac{\Delta z}{l} \quad \text{et } C = F(\varepsilon, F_n, Re)$$

$$Re \gg 1 \Rightarrow C = C(\varepsilon, F_n)$$

travail force de perpendiculaire: $(l s \omega) i$

- de frottement: $P \times l \times f(K, U)$

permettre

coeff de rugosité

$$l s \omega i = P \times l \times f(K, U)$$

$$\text{avec } R = \frac{S}{P} \rightarrow$$

$$R I = \frac{f(K, U)}{\omega}$$

expériences →

$$\frac{f(K, U)}{\omega} = b U^2 \quad (\text{BAZIN})$$

b dépend de la rugosité et de R_e .

$$R I = b \bar{U}^2; \quad \text{paro } c = \sqrt{\frac{1}{b}}$$

(103)

b) formules pratiques:

$$\text{Chezy : } V = C \sqrt{RI}$$

avec $C = 20$ pour argileux
 $C = 100$ — lisse

$$\text{Bagnin : } C = \frac{87 \sqrt{R}}{\gamma + \sqrt{R}}$$

$\gamma = 0,6$	pour mil
$= 0,46$	moellons
$= 1,3$	terrain naturel
$= 1,75$	— très argileux

$$\text{Manning - Strickler : } C = \frac{1}{n} R^{\frac{2}{5}}$$

ou $V = K R^{\frac{2}{3}} I^{\frac{1}{2}}$

Tables, abaque.

(104)

c)

Delitance :

$$Q = K I^{\frac{1}{2}} R^{\frac{2}{3}} S$$

La section droite est une fonction de h : $R(h)$
 $S(h)$

$$\rightarrow Q = K \cdot I^{\frac{1}{2}} f(h)$$

ou $\frac{Q}{\sqrt{I}} = K \cdot f(h)$ Delitance

Prisme régulier ouvert.
Conduite formée : conduite circulaire
 Voir : charpem.

C) Problèmes pratiques :

1^{re} catégorie :

Q d'un canal donné ?

S donné

h —

P perimètre mouillé donné

I connu

$$Q = K R^{2/3} i^{1/2} \times S$$

2^e catégorie : Q donné dans la section
I donné

Vitesse minimale et maximale de l'eau:

cas extrêmes:

très extrême: $v < 3,10 \text{ m/s}$

stable: $v < 0,50 \text{ m/s}$

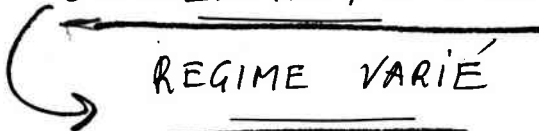
normale: $2 \text{ à } 4 \text{ m/s}$

exercice

Chapitre 7

(106)

L'ÉCOULEMENT LIBRE



(A) Etude générale de l'écoulement libre en régime varié:

1°) Definitions, Notions générales

2°) Équations - a) charge spécifique - canal de longueur infinie

b) Variation du tranchant d'eau en fonction du débit et de la charge spécifique

(B) Etudes particulières

1°) Réervoirs du même bancage

2°) Réservoir

3°) Réervoirs du même fond

L'ÉCOURLEMENT LIBRE

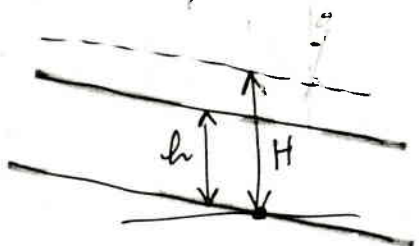
Régime varié

A) Etude généralea) Définitions - notions générales:

- mouvements accélérés
- ————— retardés
- mouvement graduellement varié
(l'application de la formule de CHEZY est possible entre 2 sections)
- mouvement rapidement varié
(on appelle en général la formule d'EULER)

b) Équations générales:a) charge spécifique (appel)

Cas du canal de longueur infinie

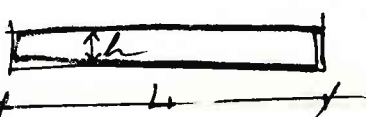


$$H = h + \frac{V^2}{2g}$$

$$E = z + \frac{P}{\rho} + \frac{V^2}{2g}$$

(en portée négative: $H = h \cos \theta + \alpha \left(\frac{V^2}{2g} \right)$)

$$R = \frac{Lh}{L+2h}$$



$q = V \cdot h = \text{débit / unité de longeur}$

$$\frac{V^2}{2g} = H - h \rightarrow V = \sqrt{2g(H-h)}$$

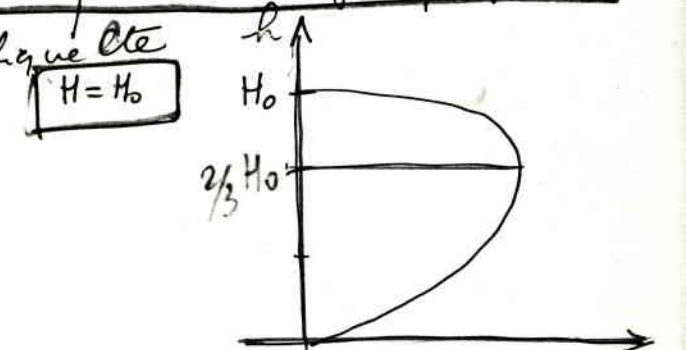
$$\rightarrow q = h \sqrt{2g(H-h)}$$

Rem: Section quelconque: $Q = S \sqrt{2g(H-h)}$

b)

Variation du tirant d'eau h en fonction du débit q et de la charge spécifique:

b) 1) à charge spécifique fixe



$$V = C \sqrt{ht} \quad (\text{Chezy})$$

Involution: — pensons V comme paramètre:

$$h = H_0 - \frac{V^2}{2g} \rightarrow q = V \cdot h = V \left(H_0 - \frac{V^2}{2g} \right) \quad (1)$$

Bon corbeau

max de débit:

$$\frac{dq}{dh} = 0$$

$$\text{ou } \frac{dq}{du} = 0$$

$$(1) \rightarrow (2) \frac{dq}{dU} = \left(H_0 - \frac{U^2}{2g} \right) - \frac{U^2}{g} = 0 \xrightarrow{\text{dim}} H_0 - \frac{3U^2}{2g} = 0$$

pour le minimum

$$\rightarrow h_c = H_0 - \frac{U_c^2}{2g} = \frac{U_c^2}{2g} = \left(\frac{2}{3} H_0 \right) \xrightarrow{\text{dim}} U_c^2 = Vgh_c$$

regime critique:

$$\text{On a alors } q_c = U_c \cdot h_c = \sqrt{gh_c} : h = \sqrt{gh^3}$$

$$\xrightarrow{\text{dim}} q_c^2 = g h^3$$

$$\xrightarrow{\text{et}} h = \sqrt[3]{\frac{q_c^2}{g}}$$

1ère application: rétrécissement dans un canal régime turbulent



surface

regime fluviatil

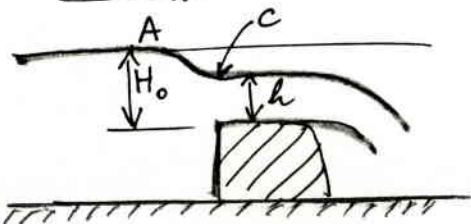


surface



surface

2ème application: déversoir à seuil épais



$$h = \frac{2}{3} H_0$$

plus fin

(10)

le régime stable correspond au débit maximal (principe de BOUSSINESQ)

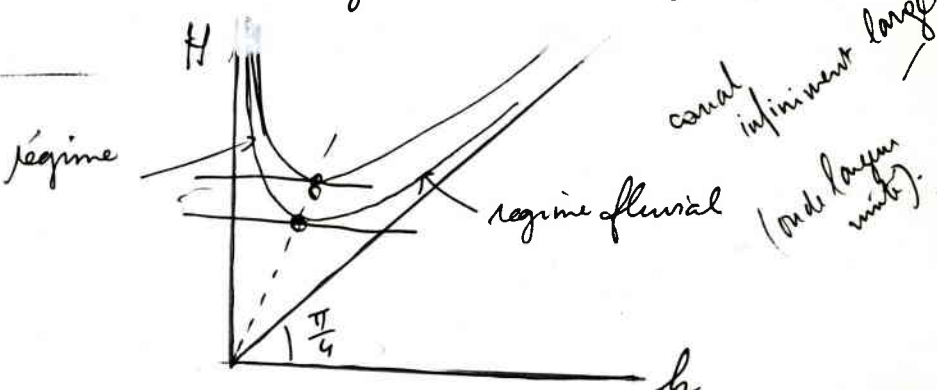
$$h = \frac{2}{3} H_0$$

b) Variation du tirant d'eau avec la charge spécifique H à débit constant:

$$q_0 = h \sqrt{2gh(H-h)}$$

$$q_0 = Uh \quad \rightarrow (h = q_0/U)$$

$$H = h + \frac{U^2}{2g} = \frac{q_0}{U} + \frac{U^2}{2g}$$



2: $\left(\frac{dH}{dh} = 0 \right)$ (ou $\frac{dH}{dV} = 0$)

$$\rightarrow \frac{dH}{dU} = -\frac{q_0}{U^2} + \frac{U}{g} = 0 \rightarrow U^3 = gq_0 = ghU$$

(11)

On retrouve le régime critique

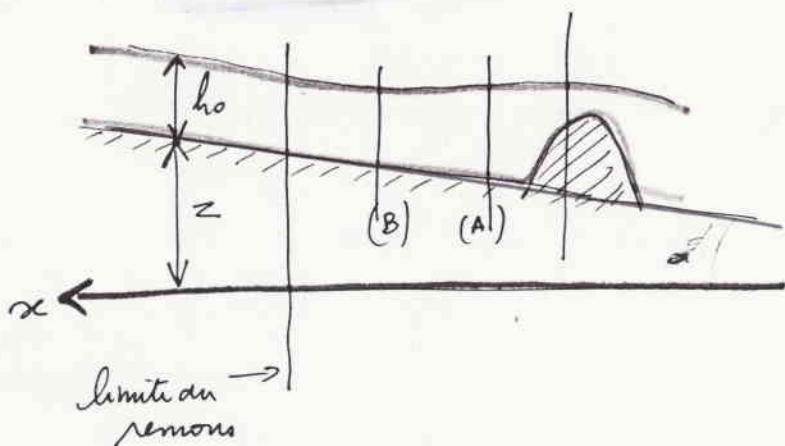
Remarque: surface:

$$F(q, h, H) = q - h \sqrt{2g(H-h)} = 0$$

112

B) Etudes particulières :

1°/ Remous du déversoir ou élévation aval (barrage)



méthode de BERNOULLI

$$e = z + h + \alpha \frac{v^2}{2g}$$

(1)

z = cote du plafond du cours

$\alpha \approx 1$

$$\text{lin de Chezy : } J = \frac{v^2}{C^2 R} = \frac{Q_0^2}{C^2 S^3 R} = \frac{Q_0^2 F}{C^2 S^3} \quad (2)$$

J = pentée de la ligne de charge

$$(1) \rightarrow \frac{de}{dx} = \frac{dz}{dx} + \frac{dh}{dx} + \frac{d\left(\frac{v^2}{2g}\right)}{dx} = J$$

$$\text{or } \frac{d(z+h)}{dx} = \frac{dy}{dx}$$

y = cote de la ligne d'eau

113

$$\frac{dy}{dx} = \frac{d(z+h)}{dx}$$

$$\frac{dy}{dx} = J - \frac{d\left(\frac{Q_0^2}{S^2 \cdot 2g}\right)}{dx} \quad \begin{matrix} 2 \text{ termes} \\ \downarrow \end{matrix}$$

pour $AB = \Delta x \rightarrow$ \downarrow les 2 termes

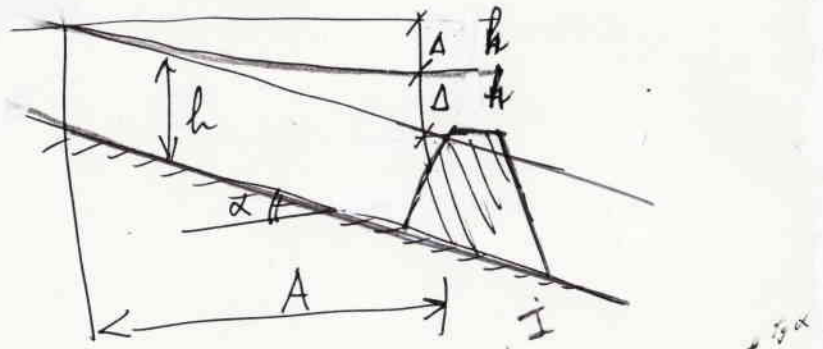
$$[\Delta y]_A^B = Q_0^2 \int_A^B \frac{P}{C^2 S^3} dx - \frac{Q^2}{2g} \left(\frac{1}{S_B^2} - \frac{1}{S_A^2} \right)$$

(équation simplifiée du régime varié)

en pratique procédé numérique
— graphique

(114)

Méthode simplifiée :分割 de la parabole



$$A = \frac{2}{\operatorname{tg} \alpha} \frac{\Delta h}{\Delta h} = \frac{2 \Delta h}{I} \quad (\text{H}) \quad \text{d'après la méthode simplifiée}$$

parabole: $z = Kx^2$

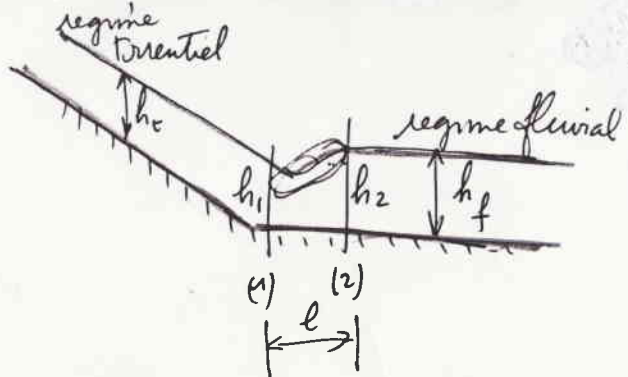
$$\begin{aligned} \text{pour } x &= \frac{2 \Delta h}{I} \\ z &= \Delta h \end{aligned}$$

$$\rightarrow K = \frac{I^2}{4 \Delta h}$$

$$\rightarrow x^2 = \frac{4 \Delta h}{I^2}, z$$

$$\rightarrow (\Delta h)_n = \frac{(2 \Delta h - x I)^2}{4 \Delta h}$$

2) Etude du ressaut



perte de charge importante

Canal infiniment long:

$$\text{forces: } \frac{\omega h_1^2}{2} - \frac{\omega h_2^2}{2}$$

débit de quantité de mouvement

$$\rho g U_2 - \rho g U_1 = \frac{\omega h_1^2}{2} - \frac{\omega h_2^2}{2} \quad (\text{Euler})$$

On pose $M = \rho g V + \frac{\omega h^2}{2}$ "impulsion totale"

$$M = \omega \left(\frac{q^2}{gh} + \frac{h^2}{2} \right)$$

$$= \omega q^2 \left(\frac{1}{gh} + \frac{h^2}{2g^2} \right)$$

la fonction M a même valeur dans la section (1) et dans la section (2) du ressaut.

(115)

TP ENITA

remarque \rightarrow formule donne

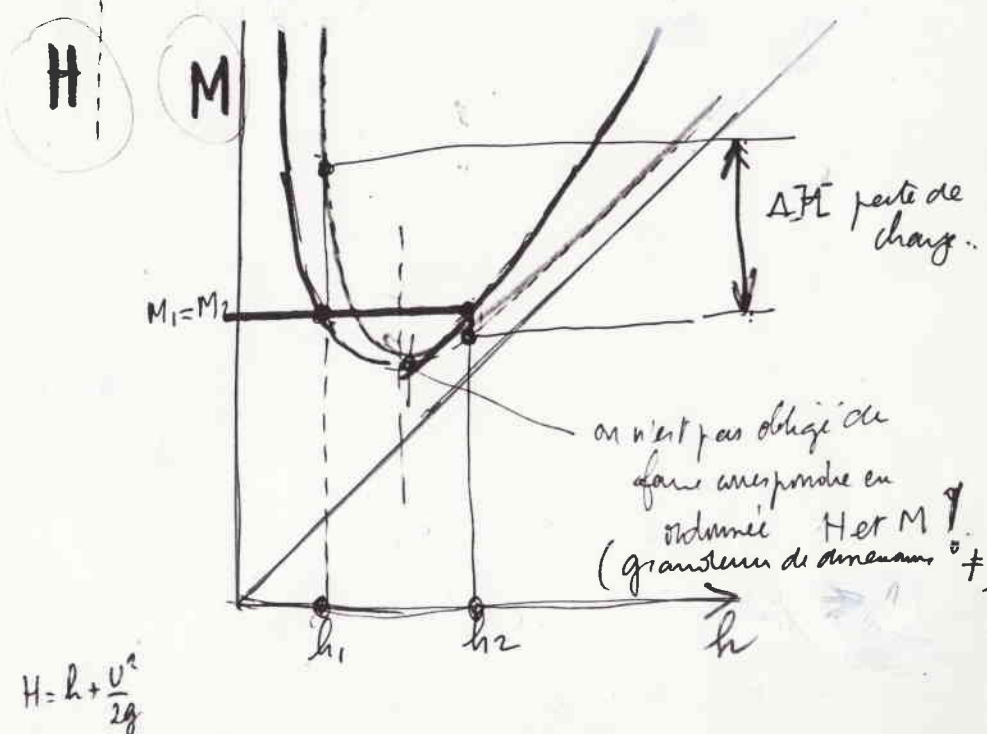
$$\frac{dM}{dh} = \rho \left(-\frac{q^2}{h^2} + \frac{2gh}{h^2} \right)$$

minimum: $\frac{q^2}{h^2} = gh \rightarrow gh^3 = q^2$

$$gh^3 = u^2 h^2$$

$$u = \sqrt{gh}$$

regime critique



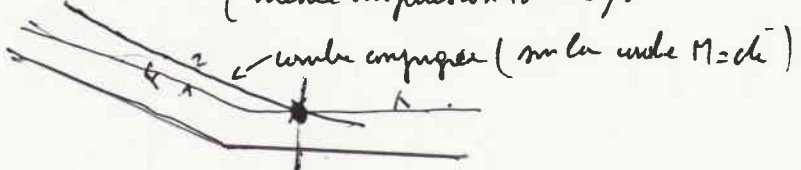
Sur le régime critique:

$$M_c = \rho g U_c + \frac{\omega h_c^2}{2}$$

(116)

localisation du résant:

On utilise la ligne d'eau du régime ~~conjugué~~ du régime permanentiel réel (même impulsion totale).



longueur d'interval : $5 \text{ à } 7 (h_2 - h_1)$

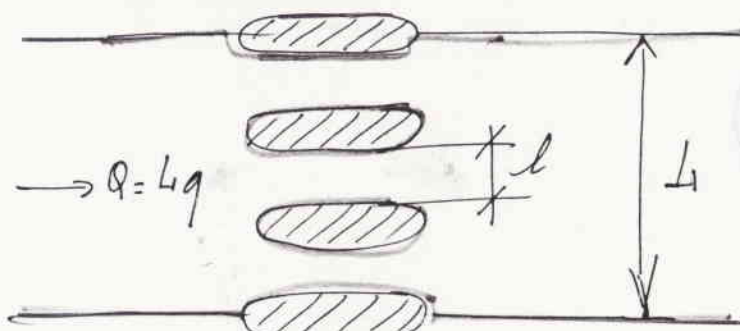
on admettra $6 (h_2 - h_1)$

(Voir notes personnelles)

117
TP

118

30/ Réervoirs du à un point: X



q = débit par unité de longem.

l = débouché hydraulique d'une travei

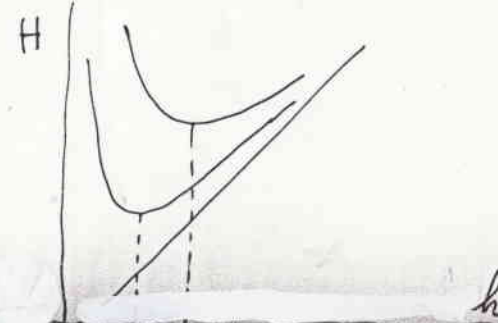
n = nombre d'intervalle.

nl = débouché hydraulique total.

Fluxage: $q' = \text{débit sous le pont}$

$$q' = q \cdot \frac{L}{nl}$$

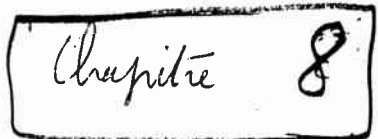
grossir et
envisager



Von poly. p 109

(119)

exempli:



LES DÉVERSOIRS

- (A) Généralité:
- 1) Définition
 - 2) Classification
 - 3) Allure du phénomène
 - 4) Forme de la nappe déversante

(B) DÉVERSOIR EN MINCE PAROI

- 1) Expression du débit
- 2) Application (irrigation)
- 3) Variation du coefficient m_1
- 4) Déversoirs triangulaires
- 5) Déversoirs avec l'indice débit fixé à l'avance

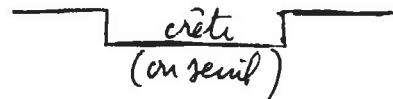
(C) DÉVERSOIRS A SEUIL ÉPAIS

- 1) Expression du débit
- 2) Largeur du déversoir d'un barrage

(A)

GÉNÉRALITÉS (les déversoirs).

- 1) Définition: surface ouverte sa partie supérieure

Classification:

- a) suivant la hauteur du seuil

déversoir en mince paroi

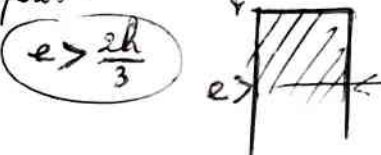
$$h > 2e$$

($h = \text{charge}$) on $e < \frac{h}{2}$

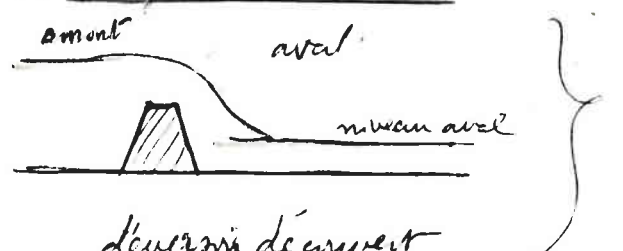


déversoir au seuil épousant

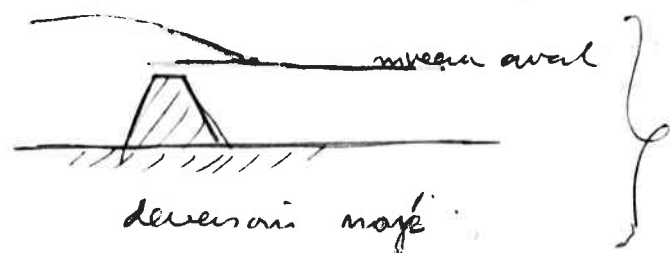
$$h < 1,5 e$$



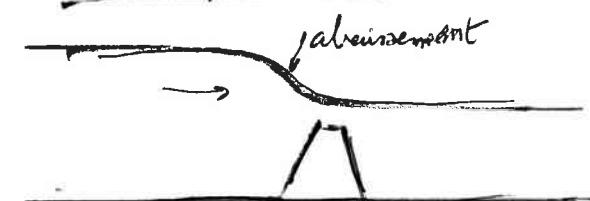
- b) suivant le niveau aval



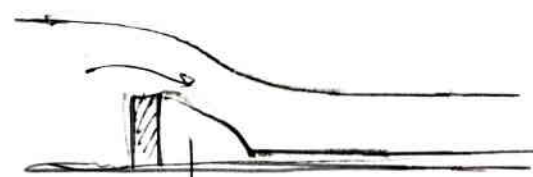
déversoir décourant



déversoir moyé

Allure des phénomènes

- 4) forme de la nappe déversante



masse d'un empennage (on le couve)
(aerature latérale)

(B)

Le déversoir en mince paroi

- 1) Expression générale du débit

h = charge au-dessus du seuil



Un orifice

$$Q = m (l \cdot h) \sqrt{2gh_1}$$

avec m en m^2



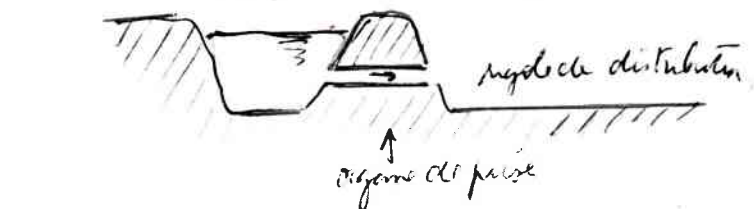
$$m(h_1 \rightarrow h_2) \rightarrow Q = \frac{m}{\sqrt{2}} lh \sqrt{2gh}$$

(122)

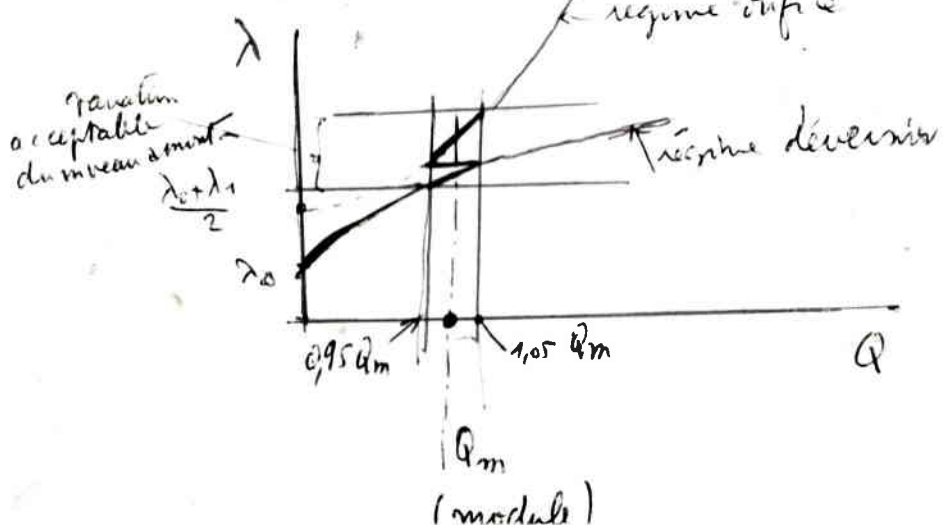
$$\rightarrow Q = m_1 \cdot l \sqrt{2g} \cdot h^{3/2} \quad \text{avec } m_1 = 0,64$$

renfie par l'expérience.

2) Application pratique à l'irrigation : canal d'alimentation (Rehbock)

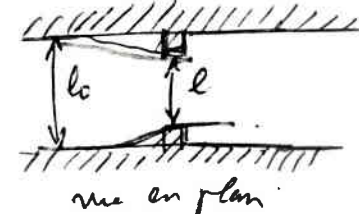
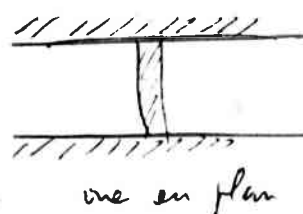


modèle à manque fonctionnement



(123)

3) Variation du coefficient de débit m_1



(1)

(2)

Cas 1. Formule du BAZIN (sans contraction)

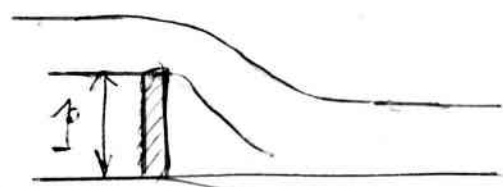
(Avec contraction latérale)

$$m_1 = \left(0,405 + \frac{0,003}{h} \right) \left[1 + 0,55 \left(\frac{h}{p+h} \right)^2 \right]$$

non figuré

Formule de REHBOCK

$$m_1 = \left[0,45 + \frac{1}{200h + 1,6} \right] \left(1 + 0,55 \left(\frac{h}{p+h} \right)^2 \right)$$

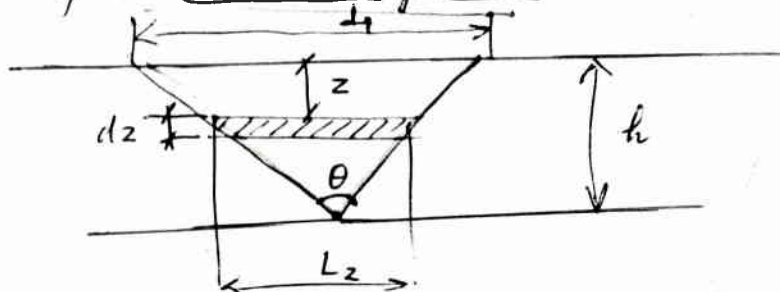


Cas 2.
(avec contraction latérale)

$$m_1 = \left(0,405 - 0,03 \frac{l_0 - l}{l_0} + \frac{0,0027}{h} \right) \left(1 + 0,55 \left(\frac{h}{l_0} \right)^2 \left(\frac{h}{p+h} \right)^2 \right)$$

(124)

4) Déversoir triangulaire



expression du débit en fonction de la charge

$$L_z = L \cdot \frac{h-z}{h} \quad = m_1 L$$

$$dQ = m_1 L_z \cdot dz \cdot \sqrt{2g z} = \frac{h-z}{h} \sqrt{2g z} \cdot dz$$

$$\rightarrow Q = \frac{m_1 L \sqrt{2g}}{h} \int_0^h (h-z) \sqrt{z} \cdot dz$$

$$= m_1 \frac{L}{h} \sqrt{2g} \left[h \cdot \frac{2}{3} z^{3/2} - \frac{2}{5} z^{5/2} \right]_0^h$$

$$= m_1 \frac{L}{h} \sqrt{2g} \times \frac{4}{15} \times h^{5/2} \quad \text{avec } \frac{L}{h} = \sqrt{2g} \frac{h}{2}$$

$$\rightarrow \boxed{Q = \frac{8}{15} m_1 \sqrt{2g} \frac{h^2}{2} \sqrt{gh}}$$

Q est proportionnel à $h^{5/2}$

(125)

5) Détermination du profil d'un déversoir dont le débit obéit à une loi $Q = F(h)$ donnée à l'avance.

$$Q = F(h) = \int_0^h m_1 f(z) \sqrt{2g(h-z)} dz$$

$$= 2 \int_0^h m_1 [f(z) \cdot dz] \sqrt{2g(h-z)} =$$

$$= 2m_1 \sqrt{2g} \int_0^h f(z) \sqrt{h-z} dz = F(h)$$

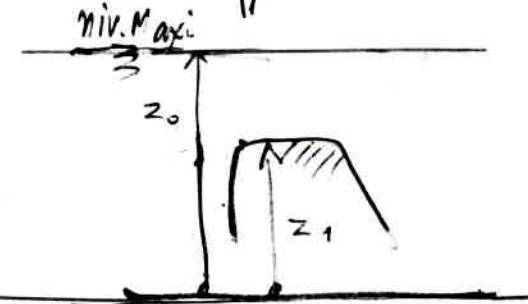
Pour obtenir $f(z)$ il faut résoudre cette équation !!

Calcul de la largeur d'un déversoir de bârage



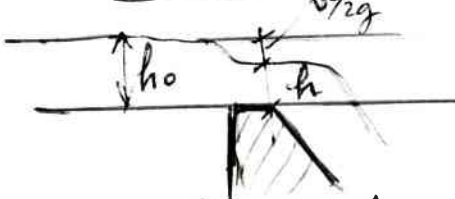
$$Q = m_s l (z_0 - z_1) \sqrt{2g(z_0 - z_1)}$$

Il faut connaître Q_0



- Etude du débit à écoulement libre à charge
Spécifique constante $\rightarrow h = \frac{2}{3} h_0$
(régime critique)

- Formule directe



Débit : $h_0 = h + \frac{v^2}{2g}$ (Bernoulli)

Principe de BERNARDINI
de régime stable $\leftrightarrow a$

Q_{max}

$$Q = h \times l \sqrt{2g(h_0 - h)}$$

$$\frac{dQ}{dh} = 0 \rightarrow l \sqrt{2g} \left[\sqrt{h_0 - h} - \frac{h}{2 \sqrt{h_0 - h}} \right] = 0$$

$$\text{on } 2(h_0 - h) - h = 0 \rightarrow \boxed{h = \frac{2}{3} h_0}$$

$$\rightarrow Q = \frac{2}{3} h_0 l \sqrt{2g \frac{h_0}{3}} = \frac{2}{3 \sqrt{3}} l h_0 \sqrt{2g h_0}$$

$$\boxed{Q = 0,385 l h_0 \sqrt{2g h_0}}$$

qui sembleable à celle du déversoir

LES ECOULEMENTS SOUTERRAINS(A) Aspects généraux des écoulements souterrains

- 1) Le sol milieu poreux - porosité totale
- 2) l'eau dans le sol (eau libre, eau liée).
- 3) écoulement libre sans perte

(B) Loi de Darcy

- 1) L'écoulement souterrain est laminaire.
- 2) Débit : loi de Darcy
- 3) les vitesses : (apparente
réelle
vitesse de filtration)
- 4) généralisation de la loi de Darcy
expression vectorielle
cas des milieux anisotropes:
le tenseur de perméabilité

(C) Applications élémentaires de la loi de Darcy

- 1) Ecoulement vertical
- 2) — horizontal
- 3) Nappe cylindrique.
- 4) — de translation

(D) Théorie des écoulements à potentiel
(rappel : à traiter cela n'a pas été fait)(1) Généralités

- Définition
- Propriétés fondamentales de la fonction potentiel
- Mouvements à potentiel simple.

(2) Propriétés des écoulements à potentiel
- Nullité au vecteur fondamental

- Fonction de courant, fonction potentielle (fonctions harmoniques)
- Théorème de TAGHANIE
Énergie des particules fluides.
Théorème
Origine du nom à Taghaneh

(3) Principes généraux de l'étude des fluides incompressibles en écoulement plan irrotationnel

- Dualité réseau orthogonal
- Potentiel complexe
- Méthodes générales d'état :
 - a) Transformation conforme
 - b) Superposition de plusieurs écoulements

(E) Application de la théorie des
écoulements à potentiel aux écoulements
souterrains

- (130)
- 1) Équation fondamentale de
l'écoulement souterrain
 - 2) Calcul d'un écoulement,
Conditions aux limites
 - 3) Exemple d'application de la
méthode analytique
Circulation d'eau autour de
palplanche - risque de renards

Les courants souterrains

(B1)

A) Aspects généraux des courants souterrains

1) Le sol milieu poreux - porosité totale

partie colloïdale $\phi < 2\mu$

courbe granulométrique

l'humidité -

loi de STOKES

$$V = \frac{\epsilon}{\eta} \frac{g r^2 (\sigma - p)}{\mu} = K \cdot d^2$$

σ = masse volumique du solide

p = _____ de l'eau.

ϵ = viscosité dynamique

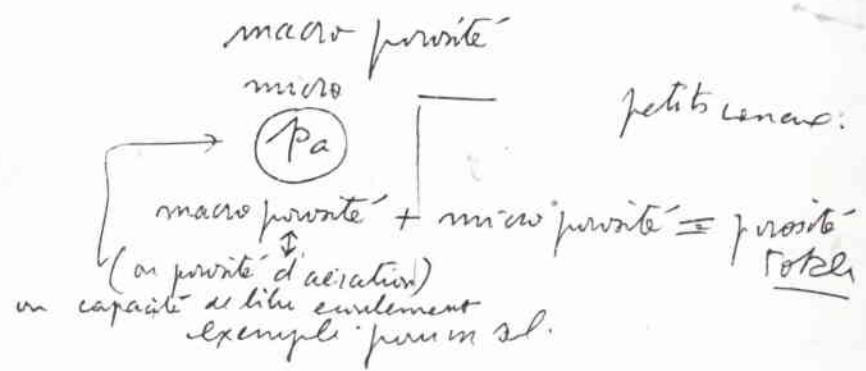
p. 124

$$K_{20^\circ} = 0,886 \cdot 10^{-6} \text{ MKS.}$$

(B2)

porosité totale = $\frac{\text{volume des espaces lacunaires}}{\text{volume apparent du sol}}$
 $0,3 \leq p_t \leq 95$

2) eau libre, eau liée
 (égoutte de l'eau).



$$\text{porosité totale} = 0,62$$

$$\begin{cases} \text{macro porosité} = 0,12 \\ \text{micro ---} = 0,30 \end{cases}$$

3) courant libre, courant sous pression

(133)

(B) Une loi fondamentale : la loi de Darcy
pt l'écoulement n'est pas-turbulent est lamininaire
 $v = 10 \text{ cm/s} = 10^{-5} \text{ m/s}$

$$D = 1 \text{ cm} = 10^{-2} \text{ m.}$$

$$V_{\text{eau}} = 10^{-6} \text{ m}^2/\text{s} \quad (\text{vitesse})$$

$\rightarrow Re = 10^3 < 2000 \rightarrow$ écoulement lamininaire.

Loi de POISEUILLE \rightarrow

$$Q = \frac{\pi}{8\mu} \left(\frac{\Delta p}{l} \right) R^4 = \frac{\pi \omega}{8\mu} J \cdot R^4$$

$$\text{car } J = \frac{\Delta p}{\omega} / l$$

$$Q = \left(\frac{\omega}{8\mu} \cdot R^2 \right) \pi R^2 J = C \cdot S \cdot J$$

$$S = \pi R^2$$

$$C = \frac{\omega R^2}{8\mu} = \frac{g R^2}{8\nu}$$

La constante C dépend seulement de
l'impédance (sol, eau), et des caractéristiques du sol

(135)

soit pa la "capacité de litte écoulement"
(ou "porosité d'aération")

soit S la section du sol considérée

$$pa S = \sum s$$

$$\rightarrow Q = \sum q = C J \sum s = C J pa S$$

$$\text{en posant } C pa = K$$

$$Q = K S J \quad (1)$$

(20) Débit et l'écoulement : loi de Darcy

En mémoire de Darcy (1856)
la fontaine publique de la ville de DIJON

Vérf: expérience de CASAGRANDE

(136)

③) les vitesses :

135

vitesse de filtration: $v_{eff} = K$

sols très perméables: $K = 10^{-3} \text{ m/s}$

— normaux $K = 10^{-5} \text{ m/s}$

— très peu perméables $K = 10^{-7} \text{ m/s}$

vitesse apparente: $Q = K S J$

C'est: $\frac{Q}{S} = V = K \cdot J$

(vitesse moyenne fictive)

vitesse réelle moyenne

Action due pa S

$$\rightarrow V' = \frac{K}{\rho_a}$$

$\rho_a \approx 908 \text{ à } 915$

vitesse réelle n'est pas la vitesse
apparente

(40) Generalisation de la loi de Darcy.

limites

selon HAZEN $D_{10} < 3\text{ mm}$

D_{10} = diamètre tel que 10% des particules sont plus fines

La loi de Darcy est la loi de base en hydrostatique statique

$$V = K \bar{J}$$

A l'intérieur d'un sol homogène gorgé d'eau, en un point quelconque M la vitesse apparente d'écoulement est donnée par

$$\boxed{\vec{V} = -K \cdot \vec{\text{grad}} h}$$

K = vitesse de filtration (unidimensionnel)

$$h = z + \frac{P}{\rho g} + \frac{V^2}{2g} = \text{charge}$$

le champ de vitesse ^{negligable} dans les contremorts statiques dérivé d'un potentiel

De façon générale, si le sol n'est pas homogène et isotrope

$K(x, y, z)$ est un tenseur défini par 6 coefficients,

$$\begin{vmatrix} K_{xx} & K_{xy} & K_{xz} \\ K_{yx} & K_{yy} & K_{yz} \\ K_{zx} & K_{zy} & K_{zz} \end{vmatrix}$$

et la loi de Darcy s'écrit

$$\vec{V} = -\vec{K} \cdot \vec{\text{grad}} h$$



APPLICATIONS

Supposons un sol homogène et isotrope

C)

Applications élémentaires de la loi de D'ARCY

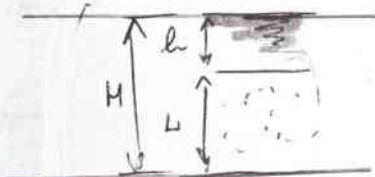
(137)

①

Ecoulement vertical

$$\text{pente motrice: } I = \frac{H}{L}$$

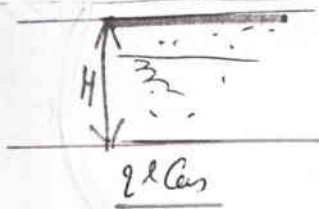
cas d'une colonne d'eau verticale



1^{er} Cas

$$H = L + h$$

$$\rightarrow I = \frac{H}{L} = \frac{L+h}{L}$$



2^d Cas

$$H = L \rightarrow I = 1$$

meilleur cas, il faut diminuer H de λ
(bruit d'ascension capillaire)

$$\rightarrow I = \frac{H-\lambda}{L} = \frac{H-\lambda}{H} < 1$$

$$\text{avec } \lambda = \frac{4A}{\pi D}$$

A = constante capillaire:

en MKSA: $A = 0,07 \text{ kg/m.s}^2/\text{m}^2$

D = diamètre moyen des particules

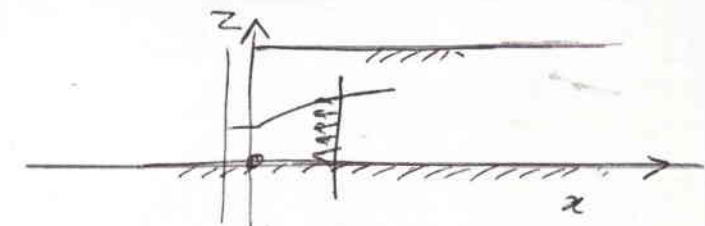
(138)

②

Ecoulement horizontal

nappes souterraines en mouvement
hypothèse de DUPUIT

$$V = -K \cdot \frac{dz}{dx}$$



③

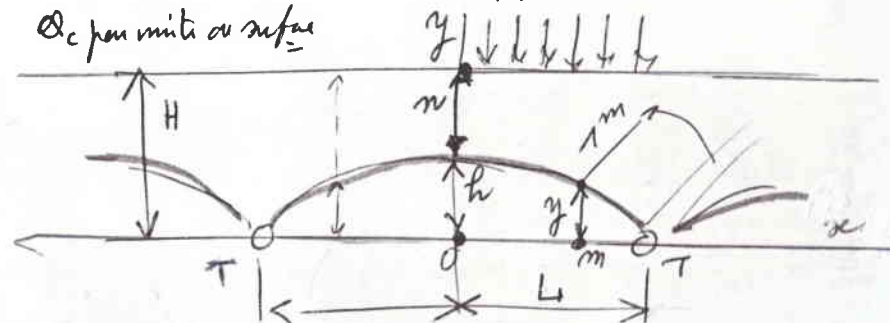
Etude des nappes cylindriques:

écoulements plans:

écoulement entre 2 fossés

2) nappe drainée verticalement

Θ_c pour unité au surface



légirme permanent

$$\text{écartement } E = 2L$$

q_c = débit caractéristique

$$Q = Ks I$$

$$Q = q_c \cdot x, \text{ 1 m.}$$

$$K = K_s$$

$$S = y \times 1 \text{ m}$$

$$I = -\frac{dx}{dy}$$

$$\rightarrow \boxed{q_c x = K_s \cdot y \frac{dy}{dx}} \quad (1)$$

$$\rightarrow q_c x^2 + K_s y^2 = \text{cte} \quad (2)$$

$$n = m + \lambda \quad \text{et} \quad h = H - n$$

m = altitude maxi de la nappe
 λ = hauteur d'ascension capillaire

$$\text{pour } x=0 \rightarrow y = h$$

$$\rightarrow \text{cte} = K_s h^2$$

max de nappe pour un écartement

$$\rightarrow \text{cte} = q_c L^2$$

$$\rightarrow q_c x^2 + K_s y^2 = q_c L^2$$

$$\text{on } \boxed{\frac{x^2}{L^2} + \frac{y^2}{h^2} = 1} \quad (3)$$

$\frac{1}{2}$ ellipse

avec $K_s h^2 = q_c L^2$ on en résolvant $E = 2L$

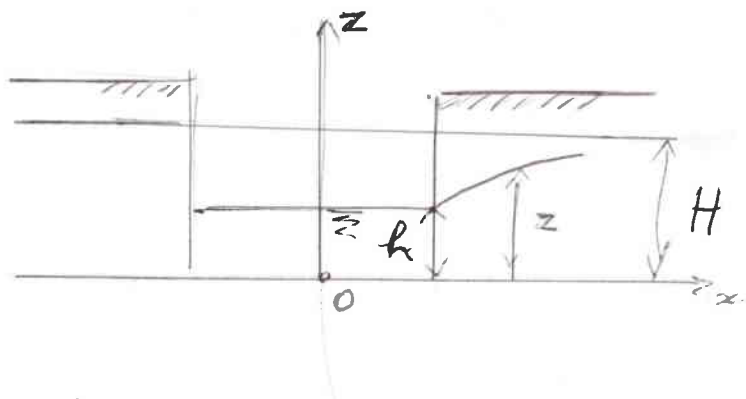
$$\boxed{E^2 = \frac{4 K_s h^2}{q_c}} \quad (4)$$

relation entre l'écartement des drains et la charge de la nappe

(141)

$$(1)(2) \rightarrow h = \frac{E}{\pi} \sqrt{\frac{q_c}{K_s}}$$

4) Etude des nappes de révolution : théorie élémentaire du puits :



$$Q = K S I, \text{ avec } S = 2\pi x z \text{ et } I = \frac{dz}{dx}$$

$$Q = -K \cdot 2\pi x z \frac{dz}{dx} \text{ ou}$$

$$Q \cdot \frac{dx}{z} = -\pi K \cdot 2z dz$$

$$\boxed{Q \cdot \log \frac{x}{x_0} = \pi K (z_0^2 - z^2)}$$

(142)

encalet :

$$Q \cdot \log \frac{x_0}{x} = \pi K (z_0^2 - z^2)$$

- la nappe passe par A ($x_0=r$, $z_0=h$)- soit R le rayon d'action des puits : la nappe passe par le point $z=H$; $x=1$

$$\rightarrow \boxed{Q = \frac{\pi K (H^2 - h^2)}{\log \frac{R}{x}}} \quad (1)$$

pour un puits peu profond et de petit diamètre on peut admettre, une première approximation

$$\frac{R}{r} = 100 \times x \quad (2)$$

(hypothèse de PORCHET)

$$\text{l'expression } \frac{\pi}{\log \frac{R}{x}} = \frac{3.14}{4605} = 0.682 N^{\frac{2}{3}}$$

$(\log \frac{R}{x} = \log_{10} 100 = 4.605 \text{ Porchet obtient})$



(143)

$$\rightarrow Q = \frac{2}{3} K (H^2 - h^2) \\ = \frac{2K}{3} (H+h)(H-h)$$

avec $H-h = \Delta$

$$H+h = 2H-\Delta$$

$$\boxed{Q = \frac{2K}{3} (2H-\Delta)} \quad (3)$$

Remarque : prise en compte de l'arrivée
d'eau sur le fond

on remplace dans la formule (3)

$$H \text{ par } H' = H + \frac{v}{2}$$

D) Théorie des écoulements à potentiel

1) Generalités

definim circulation dentosa

$$\vec{V} = \begin{pmatrix} v(x, y, z) \\ w(x, y, z) \end{pmatrix}$$

$$\Gamma = \int_A^B \vec{V} \cdot d\vec{s} = \int_A^B V_s \cdot ds = \int_A^B u dx + v dy + w dz$$

exemples: (1) ligne de courant: cercles concentriques

$$1 \quad \rightarrow \Gamma_1 = \int_{\gamma} V ds = K_R r_1 \times 2\pi r_1 = 2\pi K_R^2$$

(2) même lignes de courant, mais $V = \frac{K}{2}$

$$\rightarrow F_1 = \int_C V ds = \frac{K}{2} \times 2\pi r_2 = \underline{\underline{\pi r_2^2}} = \text{cte}$$

③ évidemment quelconque: l'aire avec la ligne clivée pour aller de A à B

'e seulement à potentiel

n udd + vdy + wdz
est une différentielle totale exacte

$$\rightarrow \frac{\partial w}{\partial x} = \frac{\partial u}{\partial z}, \quad \frac{\partial v}{\partial z} = \frac{\partial w}{\partial y}; \quad \frac{\partial u}{\partial y} = \frac{\partial v}{\partial x}$$

lorsque ces \vec{r} ne dépendent plus du chemin
et il existe une fonction $q(x, y, z)$
Telle que, $v_i = \frac{\partial q}{\partial x^i}$

$$\left\{ \begin{array}{l} u = \frac{\partial \varphi}{\partial x} \\ v = \frac{\partial \varphi}{\partial y} \\ w = \frac{\partial \varphi}{\partial z} \end{array} \right. \text{ on } \vec{V} = \overrightarrow{\text{grad } \varphi}$$

(c'est un courant à potentiel des intissés, (courant initiativuel)

Surfaces (lignes) équipotentielles
 $\varphi(x, y, z) = 0$ surfaces équipotentielles

enlivens place

- le vecteur vitesse reste // au plan fixe
 - il prend même grandeur et même direction en tout les points d'une même normale au plan.

1,2

Propriétés fondamentales de la fracture

Potentiel (équilibrium pluri)

$$\vec{V} \left\{ \begin{array}{l} u = \frac{\partial y}{\partial x} \\ v = \frac{\partial y}{\partial y} \end{array} \right.$$

\overrightarrow{V} est la
ligne asymptotique
passant par

$$\text{zu wiedergewählten: } \vec{V} \left\{ \begin{array}{l} V_r = \frac{\partial \varphi}{\partial r} \\ V_\theta = \frac{1}{r} \cdot \frac{\partial \varphi}{\partial \theta} \end{array} \right.$$

Sont $\psi(x,y)$ la fonction de courant de l'arclement

$$\vec{V} = \begin{cases} u = \frac{\partial \psi}{\partial y} \\ v = -\frac{\partial \psi}{\partial x} \end{cases} \quad \psi = ct$$

\vec{V} est porté par la tangente de la ligne
de courant en M.

Les lignes de current et les lignes équipotentielles $\phi(x,y) = \text{cte}$ forment 2 réseaux orthogonaux.

$$\text{En coordonnées polaires, } \vec{V} = \begin{cases} V_r = \frac{1}{r} \cdot \frac{\partial \psi}{\partial \theta} \\ V_\theta = -\frac{\partial \psi}{\partial r} \end{cases}$$

Ecartement des lignes equipotentielles:

$$\Delta \Gamma = \vec{V} \cdot \vec{\Delta l} = dy = \frac{\partial \varphi}{\partial x} dx + \frac{\partial \varphi}{\partial y} \cdot dy = \beta - \alpha$$

(circulation of vortices) $\vec{V}, \vec{\Delta l}$

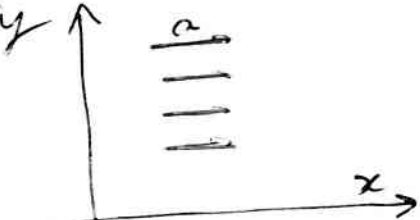
$$\text{in } \vec{\Delta Q} = \left| \vec{v} \wedge \vec{\Delta t} \right| = d\gamma$$

\vec{V} au moyen de proportions entre les équivalents

$$\Gamma_{M_d M_F} = \int_{M_d}^{M_F} u \, du + v \, dy = f^5 - x$$

Mouvement à potentiels simples
Écoulement parallèle et uniforme

1.3



$$u = \frac{\partial \psi}{\partial x} = \frac{\partial \psi}{\partial y}$$

$$v = \frac{\partial \psi}{\partial y} = -\frac{\partial \psi}{\partial x}$$

$$\boxed{\psi(x, y) = ay - cte}$$

$$\vec{V} \begin{pmatrix} u = \frac{\partial \psi}{\partial y} = a \\ v = \frac{\partial \psi}{\partial x} = 0 \end{pmatrix}$$

$$Q = a(y_1 - y_2)$$

Fonction potentiel :

$$\frac{\partial \psi}{\partial x} = a = \frac{\partial \psi}{\partial y}$$

$$\frac{\partial \psi}{\partial y} = 0 = -\frac{\partial \psi}{\partial x}$$

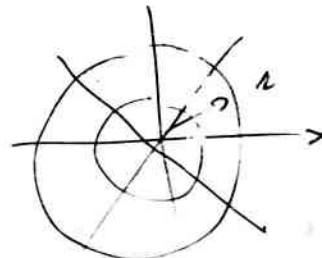
lignes orthogonales $x = \text{cte}$

$$\boxed{\psi(x, y) = ax = \text{cte}}$$

148

SOURCE - PERTURBATION $\rightarrow Q_0 = 2\pi r V = \text{cte}$
 indépendant de r

149



$$\rightarrow V = \frac{Q_0}{2\pi} \frac{1}{r}$$

$$\theta = \text{cte}$$

Fonction de mouvement:
 $\rightarrow \psi(r, \theta) = K\theta$

$$\text{et } Q_{1,2} = K(\theta_2 - \theta_1)$$

$$\text{et pour tout cercle } Q = 2\pi K$$

$$\rightarrow K = \frac{Q_0}{2\pi} \rightarrow \boxed{\psi = \frac{Q_0}{2\pi} \theta}$$

autrement:

$$V_r = \frac{1}{r} \psi_\theta = \frac{Q_0}{2\pi} \frac{1}{r} \rightarrow \psi_\theta = \frac{Q_0}{2\pi} \quad \psi = \frac{Q_0}{2\pi} \theta$$

$$\frac{1}{r} V'_\theta = \psi'_\theta = 0$$

Si la fonction potentiel existe:

$$\vec{V} \begin{pmatrix} \frac{1}{r} \frac{\partial \psi}{\partial r} - \frac{\partial \psi}{\partial \theta} \\ -\frac{\partial \psi}{\partial r} - \frac{1}{r} \frac{\partial \psi}{\partial \theta} = 0 \end{pmatrix}$$

$$\rightarrow \frac{\partial \psi}{\partial r} = \frac{Q_0}{2\pi} \frac{1}{r} \rightarrow \boxed{\psi = \frac{Q_0}{2\pi} \log r}$$

Perturbations analogues -

Vortex = tourbillon pur
(vitesse tangentielle).

(150)

$$v = \frac{c}{r}$$

ligne de courant: $r = \text{cte}$

$$\vec{V} \left\{ \begin{array}{l} v_r = \frac{1}{r} \frac{\partial \psi}{\partial \theta} = 0 \\ v_\theta = -\frac{\partial \psi}{\partial r} = \frac{c}{r} \end{array} \right. \quad \boxed{\psi = -c \log r}$$

Calcul du tourbillon le long d'un cercle de centre O

$$\Gamma = 2\pi r \frac{c}{r} = ct \rightarrow \Gamma_c \rightarrow C = \frac{\Gamma_0}{2\pi}$$

$$\boxed{\psi = -\frac{\Gamma_0}{2\pi} \log r}$$

Fonction potentielle

$$\vec{V} \left\{ \begin{array}{l} \frac{\partial \psi}{\partial r} = 0 \\ \frac{1}{r} \frac{\partial \psi}{\partial \theta} = \frac{c}{r} \end{array} \right. \rightarrow \boxed{\psi = c \cdot \theta} \\ \rightarrow \boxed{\varphi = \frac{\Gamma_0}{2\pi} \theta}$$

on + suivant la sens de rotation

2.) Propriété des écoulements à potentiel

2.1 module du vecteur tourbillon

$$\vec{V} \left(\begin{array}{l} u = \frac{\partial \psi}{\partial x} \\ v = \frac{\partial \psi}{\partial y} \end{array} \right)$$

$$\rightarrow \zeta = \frac{1}{2} \left(\frac{\partial v}{\partial x} - \frac{\partial u}{\partial y} \right) = 0$$

Dans un mouvement à potentiel, le vecteur tourbillon est nul (écoulement irrotationnel)

$$\begin{aligned} \text{Rem: } \vec{T} &= \frac{1}{2} (\vec{V} \wedge \vec{V}) \\ &= \frac{1}{2} \left(\frac{\partial v}{\partial x} - \frac{\partial u}{\partial y} \right) \\ &= \frac{1}{2} \left(\frac{\partial^2 \psi}{\partial x^2} - \frac{\partial^2 \psi}{\partial y^2} \right) = 0 \end{aligned}$$

(151)

2.2 Fonction potentielle et fonction de courant
mt harmoniques:

eq. de continuité $\boxed{\operatorname{div} \vec{V} = 0}$

$$\frac{\partial u}{\partial x} + \frac{\partial v}{\partial y} = 0$$

$\rightarrow \boxed{\Delta \varphi = 0}$ in $\frac{\partial^2 \varphi}{\partial x^2} + \frac{\partial^2 \varphi}{\partial y^2} = 0$

Fonction de courant

$$\operatorname{rot} \vec{V} = \vec{\nabla} \wedge \vec{V} = 0$$

$$\frac{\partial v}{\partial x} - \frac{\partial u}{\partial y} = - \frac{\partial^2 \psi}{\partial x^2} - \frac{\partial^2 \psi}{\partial y^2} = 0$$

$$\boxed{\Delta \psi = 0}$$

152

2.3 Théorème de LAGRANGE

énergie des particules fluides:

$$\frac{V^2}{R} = N - \frac{1}{\rho} \frac{\partial P}{\partial n}$$

(T, N)
imposants
de la pression

équation cinétique du mouvement à potentiel

$$\xi = \frac{1}{2} \left(\frac{V}{R} - \frac{\partial V}{\partial n} \right)$$

$$\rightarrow V \frac{\partial V}{\partial n} - N + \frac{1}{\rho} \frac{\partial P}{\partial n} = 0$$

intègrons pt. à N

(si N donne d'un potentiel)

$$\rightarrow V^2 + (\mathcal{U}) + \frac{P}{\rho} = \text{ct}$$

Harmonieusement à potentiel,
l'énergie de toutes les particules est la même
(cas maigre Bernoulli)

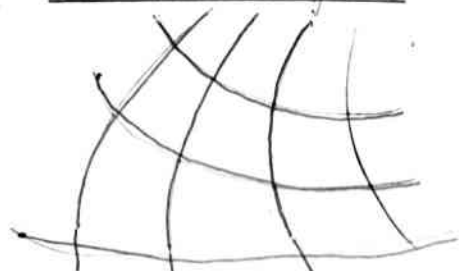
Théorème de Lagrange: Dans un fluide parfait où la densité n'est fonction que de la pression, soumis à un champ de force devant d'une fonction de force, les intégrales dérivent d'un potentiel à un instant donné, il en est de même à tout instant ultérieur.

153

Consequence : les mouvements de l'fluides ne peuvent être engendrés que par le frottement.

(3) Principes généraux de l'étude des fluides incompressibles en écoulement plan irrotationnel

3.1 Doubles réseaux orthogonaux



Potentiel complexe

fonction de variable complexe
 $f(z) = \varphi(x, y) + i\psi(x, y)$

avec $z = x + iy$

La fonction $f(z)$ est analytique si elle admet une dérivée, i.e.

$\Delta f(z)$ unilinéaire

independante de la forme dans $\Delta z \rightarrow 0$

Dans ce cas φ et ψ satisfont à l'équation de Laplace
 $f(z) = Z$ avec $z = x + iy$
et $x = f_1(x, y)$
 $y = f_2(x, y)$

exprime une transformation conforme du plan des z au plan des Z

Potentiel complexe: $f(z) = \varphi(x, y) + i\psi(x, y)$

On démontre que $\frac{df}{dz} = u - iv$

en effet

$$\begin{aligned} df &= (\varphi'_x dx + \varphi'_y dy) + i(\psi'_x dx + \psi'_y dy) \\ &= dx (\varphi'_x + i\psi'_x) + dy (\varphi'_y + i\psi'_y) = \\ &= dx (u - iv) + dy (v + iu) \\ \text{mais } v + iu &= i(u - iv) \rightarrow \\ df &= (u - iv)(dx + idy) = dz(u - iv) \end{aligned}$$

exemples :

l'entraînement rectiligne unitaire $f(z) = Vz$

$$\text{Source: } f(z) = \frac{\Omega_0}{2\pi} L z$$

$$\text{Vortex: } f(z) = -\frac{i P_0}{2\pi} L z$$

3.3 Méthodes générales d'étude

3.3 a) Transformations conformes

exemple $f(z) = Vz$

$$\text{Transformation } z = z + \frac{1}{z}$$

(Transformation de Joukowski)

$$\text{L'entraînement transformé: } \rightarrow F(z) = V \left(z + \frac{1}{z} \right)$$



3.3 b) Superposition de plusieurs entraînements

(158)

3.3 b) Superposition de plusieurs entraînements

principe:

Si 2 fonctions f_1 et f_2 sont solutions de l'équation de LAPLACE

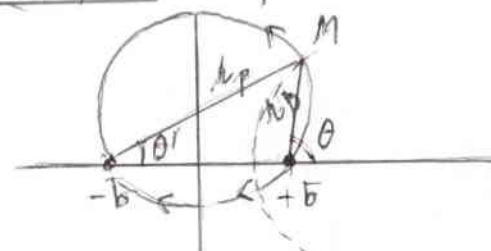
$$\Delta \varphi_1 = \Delta \varphi_2 = 0$$

$$\Delta \varphi_1 + \Delta \varphi_2 = 0$$

la fonction $f_1 + f_2$ (ou toute combinaison linéaire $af_1 + bf_2$) est aussi une solution de l'équation de Laplace

- les acc. des lignes de courant / s'ajoutent algébriquement
- les vitesses se composent vectoriellement (les pressions ne s'ajoutent pas)

Exemple: puits + source



$$f_{\text{source}} = \frac{Q_0}{2\pi} \log(z - b) = \frac{Q_0}{2\pi} \log \frac{r_s}{r_p} e^{i\theta}$$

$$f_{\text{points}} = -\frac{Q_0}{2\pi} \log(z + b) = -\frac{Q_0}{2\pi} \log \frac{r_s}{r_p} e^{-i\theta}$$

$$\begin{aligned} f = f_b + f_p &= \frac{Q_0}{2\pi} \log \frac{z - b}{z + b} = \\ &= \frac{Q_0}{2\pi} \log \frac{r_s}{r_p} e^{i(\theta - \theta')} = \frac{Q_0}{2\pi} \left[\log \frac{r_s}{r_p} + i(\theta - \theta') \right] \end{aligned}$$

$$\phi = \frac{Q_0}{2\pi} \log \frac{r_s}{r_p}$$

$$\psi = \frac{Q_0}{2\pi} (\theta - \theta')$$

frise au des
cercles passant
par b et p

Doublet : si $b \rightarrow 0 \rightarrow$ doublet

$$\rightarrow \frac{Q_0}{2\pi} = 2b = \frac{Q_0 b}{\pi} \rightarrow \infty$$

$$\begin{aligned} \rightarrow \frac{Q_0}{2\pi} \log \frac{z - b}{z + b} &\sim \frac{Q_0}{2\pi} \log \left(1 - \frac{2b}{z} \right) \sim \frac{Q_0}{2\pi} \cdot 2b \cdot \frac{1}{z} \\ \text{car } \log(1 + \varepsilon) &\sim \varepsilon \end{aligned}$$

158 1

autre exemple

Superposition de l'écoulement autour d'un cercle avec vitesse uniforme V_0 à l'infini et d'un vortex

$$f(z) = V_0 \left(z + \frac{a^2}{z} \right) - \frac{i \Gamma_0}{2\pi} \log \frac{z}{a}$$

fonction potentielle

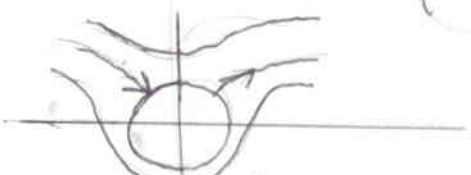
$$\varphi = \frac{\Gamma_0}{2\pi} \theta + V_0 \left(r + \frac{a^2}{r} \right) \cos \theta$$

fonction de courant

$$\psi = -\frac{\Gamma_0}{2\pi} \log \frac{r}{a} + V_0 \left(r - \frac{a^2}{r} \right) \sin \theta$$

ligne de courant $\boxed{\psi = 0}$ cercle de rayon $r = a$

$$\text{comme } \psi_0 : \left(\sin \theta = \frac{r}{2\pi V_0 a} \left(\frac{\log \frac{r}{a}}{\left(1 - \frac{a^2}{r^2} \right)} \right) \right)$$



$$\text{si } r \rightarrow a \text{ ceci } \rightarrow \frac{1}{2}$$

Le cercle de rayon a tel que ψ_0 se rapproche aux points $r = a$ et $\sin \theta = \frac{\Gamma_0}{2\pi V_0 a}$

verifié

$$\text{à la limite } F = \frac{m}{z} = m \sqrt{\frac{x}{x^2+y^2}} - i \sqrt{\frac{y}{x^2+y^2}}$$

$$\varphi = \frac{mx}{x^2+y^2}$$

$$\psi = \frac{-my}{x^2+y^2}$$

(159)

E Application de la théorie des écoulements à potentiel aux écoulements souterrains

D) Équation fondamentale de l'écoulement souterrain

- existence d'un potentiel des intenses
- la loi de DARCY \rightarrow

$$\vec{V} = -K \nabla h \text{ avec } h = z + \frac{P}{\rho g}$$

SLICHTER (1897) a généralisé cette équation dans un espace à 3 dimensions homogène et isotrope.

$$\vec{V} \rightarrow \begin{cases} u = -K \frac{dh}{dx} \\ v = -K \frac{dh}{dy} \\ w = -K \frac{dh}{dz} \end{cases}$$

$$\text{or } \operatorname{div} \vec{V} = 0 \text{ (éq. de continuité)}$$

$$\rightarrow \operatorname{div} \vec{V} = -K \cdot \operatorname{div} (\nabla h) = 0$$

$$\text{on } \boxed{\Delta h = 0} \text{ Laplacien} \Rightarrow -K \left(\frac{\partial^2 h}{\partial x^2} + \frac{\partial^2 h}{\partial y^2} + \frac{\partial^2 h}{\partial z^2} \right) = 0$$

(160)

h est donc une fonction harmonique.

Fonction potentielle et fonction de courant (cas du mouvement plan)

appelons $[q = Kh]$ la fonction potentielle et dq le débit traversant la section élémentaire $ds = dl \times 1m$

$$\text{On a } dq = \left| \vec{V} \cdot d\vec{l} \right| \text{ avec } d\vec{l} \begin{pmatrix} dx \\ dy \\ dz \end{pmatrix}$$

$$dq = |v dx - u dy| \text{ différentielle totale exacte}$$

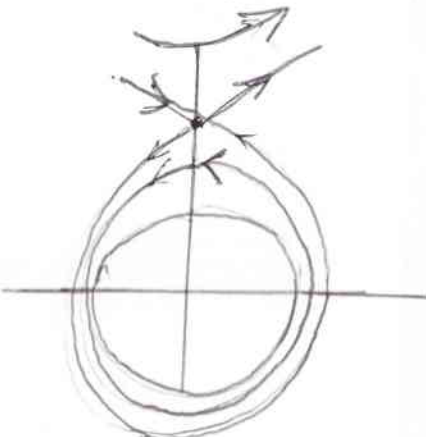
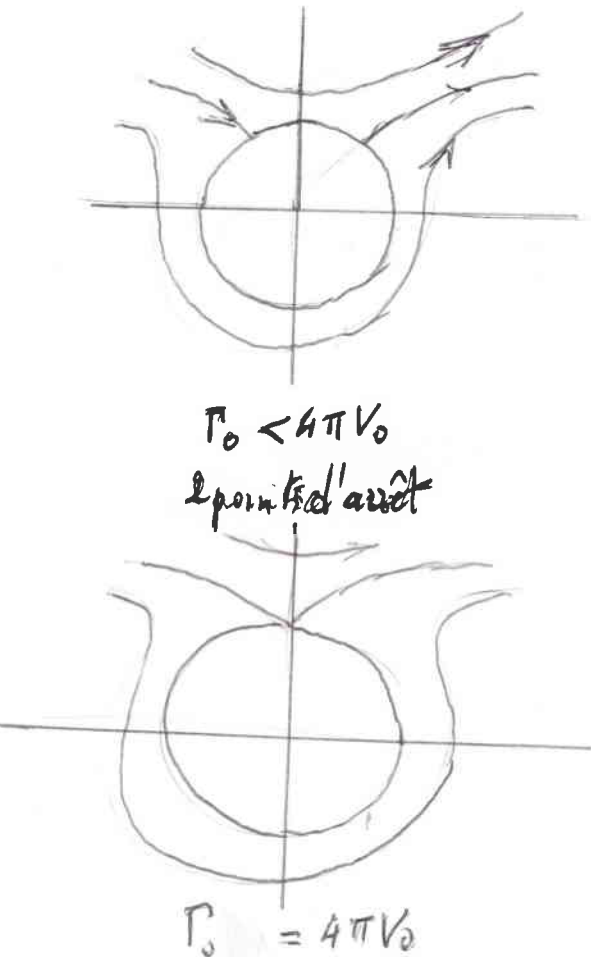
$$\rightarrow \begin{cases} u = \frac{\partial q}{\partial y} \\ v = -\frac{\partial q}{\partial x} \end{cases}$$

étant la fonction potentielle

De même, la fonction de courant $q(x,y)$ obéit aux équations

$$\frac{dq}{dy} = u = K \frac{dh}{dx} \quad | = \frac{dq}{dx}$$

$$-\frac{dq}{dx} = v = K \frac{dh}{dy} = \frac{dq}{dy}$$



(162)

F) Calcul d'un écoulement

Conditions aux limites

Un écoulement à potentiel ne peut être calculé que si les conditions aux limites sont bien définies et connues

Cas pratiques

- On connaît le potentiel $\varphi = Kh$ sur une des limites du domaine (équationnelle): condition de DIRICHLET

- ou on connaît le gradient $\frac{d\varphi}{dx}$ dans une direction n^* donnée

(en général la direction intérieure)
sur une des limites du domaine

(ex: on connaît une ligne de courant rectiligne en limite
condition de NEUMANN)

(163)

Courants

- au contact d'une paroi imperméable

$$\vec{V} = K \cdot \frac{dh}{dn} \quad \text{ou} \quad \frac{dh}{dn} = 0$$



(condition de NEUMANN).

- au contact d'une masse d'eau présentant une surface libre fond perméable d'une rivière

$$z + \frac{p}{\rho g} = h = cte$$

sont dl le déplacement élémentaire le long du fond

$$\frac{d\varphi}{dl} = \frac{dKh}{dl} = 0$$

ou $\varphi = cte$
condition de DIRICHLET.

(164)

✓ au contact de la surface d'une nappe libre

$$\varphi = K \left(z + \frac{p_a}{\omega} \right)$$

en tout point de la surface $\frac{d\varphi}{dn} = 0$

sur la direction perpendiculaire

(Condition de NEUMANN).

3°

Exemples écoulement autour
d'une pale planche

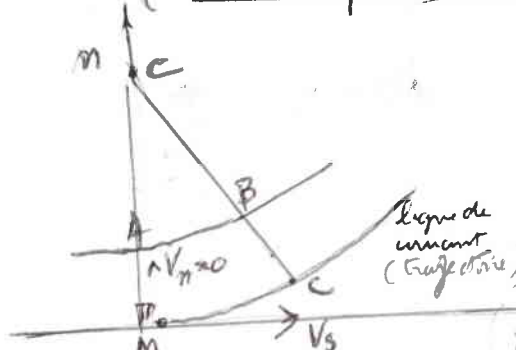
(164)

(165)

Équations dynamiques infinitésimales
(mouvement permanent)

axes M_x, M_n

$$\vec{F} \begin{cases} T \\ N \end{cases}$$

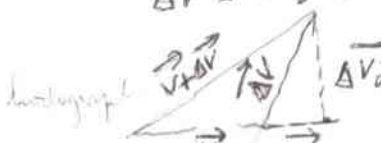


$$\vec{V} \begin{cases} V_s \\ V_n = 0 \end{cases}$$

$$\gamma_s = \frac{dV_s}{dt} = V_s \frac{\partial V_s}{\partial s} + \frac{\partial V_s}{\partial t}$$

$$\gamma_n = \frac{dV_n}{dt} = \frac{V_s^2}{R} + \frac{\partial V_n}{\partial t} = 0$$

$$\Delta \vec{V} = \Delta \vec{V}_s + \Delta \vec{V}_n \quad \text{car } \vec{V} = \vec{V}_s + \vec{V}_n$$



$$\text{Les équations } \vec{f} = \vec{F} - \frac{1}{\rho} \text{ grad } p \text{ donnent:}$$

$$V \cdot \frac{\partial V}{\partial s} = T - \frac{1}{\rho} \frac{\partial p}{\partial s} \quad (2')$$

$$\frac{V^2}{R} = N - \frac{1}{\rho} \frac{\partial p}{\partial n} \quad (2'')$$

Théorème de LAGRANGE

1651

a) Energie des particules fluides

à l'expression (2) on associe l'équation caractéristique du mouvement à potentiel (nullité du vecteur tourbillon)

$$\zeta = \frac{1}{2} \left(\frac{V}{R} - \frac{\partial V}{\partial n} \right) = 0$$

$$\rightarrow V \frac{\partial V}{\partial n} - N + \frac{1}{\rho} \frac{\partial P}{\partial n} = 0$$

Intégrons par rapport à n (de N dérive d'un potentiel) →

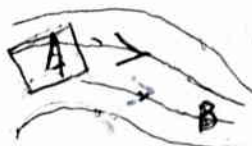
$$V^2 + U + \frac{P}{\rho} = Cte$$

Dans un écoulement à potentiel l'énergie de toutes les particules du fluide est la même

Théorème de Lagrange dans une portion du fluide en écoulement A, toute la particules ont des vitesses qui dérivent d'un potentiel

(à un moment donné t_0),
Toute les particules ont au moment t_0 la même énergie.

Cette propriété se conserve pour tout instant ultérieur (t_1) où elle se trouve en B



ENONCE Théorème de Lagrange

1652

Dans un fluide parfait, où la densité n'est fonction que de la pression, soumis à un champ de force devant d'une fonction de force, si les vitesses dérivent d'un potentiel à un instant donné, il en est de même à tout instant ultérieur

Consequence Origine des mouvements tourbillonnaires

Les mouvements tourbillonnaires ne peuvent être engendrés que par le frottement.

167

autre méthode pour retrouver l'équation de continuité

Notion de dérivée partielle

Soit $G(x, y, z, t)$ fonction attachée à la unité de volume

Soit $I = \iiint_v G \, dv$ étendue au volume v limité par la surface S

On suit le volume v du fluide dans son mouvement pendant le temps dt :

$$dI = \iiint_v \left(\frac{\partial G}{\partial t} dt \right) \, dv + \iint_S G [\vec{V} \cdot \vec{n}] \, ds$$

partie immobile

pour l'accroissement
de volume

$$\rightarrow \frac{dI}{dt} = \iiint_v \frac{\partial G}{\partial t} \, dv + \iint_S G [\vec{V} \cdot \vec{n}] \, ds$$

dérivée partielle

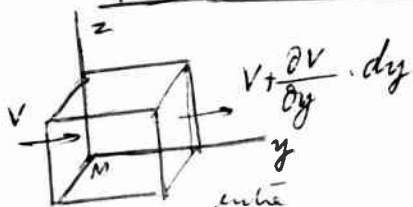
Eq de continuité si $G = \rho$ (masse volumique)

$$\rightarrow I = \iiint_v \rho \, dv; \quad \text{et} \quad \frac{dI}{dt} = 0$$

Or: d'après le théorème de RIEMANN-STROGRADSKY,
la dérivée convective est $\iiint_v \text{div} \vec{V} \, dv \rightarrow$

Équation de continuité:

166



gain ou masse =

$$\rho V (dx \, dy \, dz) \, dt - (\rho V + \frac{\partial \rho V}{\partial y} \cdot dy) (dz \, dx) \, dt = \\ = \frac{\partial \rho V}{\partial y} \, dx \, dy \, dz \, dt$$

--- et de même pour les autres faces

$$\rightarrow \text{au total. } - \left(\frac{\partial \rho V}{\partial x} + \frac{\partial \rho V}{\partial y} + \frac{\partial \rho V}{\partial z} \right) dx \, dy \, dz \, dt$$

Dérivation de la masse volumique $dx \, dy \, dz \, \frac{\partial \rho}{\partial t} \, dt$
(= 0 pour fluides incompressibles)

$$\rightarrow \boxed{\frac{\partial \rho V}{\partial x} + \frac{\partial \rho V}{\partial y} + \frac{\partial \rho V}{\partial z} + \frac{\partial \rho}{\partial t} = 0}$$

Cas des fluides incompressibles

$$\frac{\partial u}{\partial x} + \frac{\partial v}{\partial y} + \frac{\partial w}{\partial z} = 0$$

$$\text{ou } \boxed{\text{div } \vec{V} = 0}$$

Anneexe

(168)

(169)

Equation de Bernoulli

a) Hypothèse de calcul

- fluide parfait, mouvement permanent
- forces de masse l'érivent d'un potentiel ψ , i.e. $\vec{F} = \text{grad } \psi$
- ρ fonction de p seulement (pour les fluides incompressibles $\rho = \text{Cte}$)

l'équation (2)', soit

$$\frac{V \partial V}{\partial s} = T - \frac{1}{\rho} \frac{\partial p}{\partial s}$$

(relative à l'unité de masse)
peut être intégrée le long d'une ligne de courant

(ou le long d'une trajectoire
puisque on est en mouvement permanent)

$$\rightarrow \frac{V^2}{2} + \psi + \int \frac{dp}{\rho} = \text{Cte}$$

(BARRE de ST. VENANT)
où ρ n'est fonction que de p

Si le fluide est compressible :
et si les forces de volume se réduisent aux forces de gravité ($-U = +gz$)
↑
potentiel.

$$\rightarrow \frac{V^2}{2} + gz + \frac{p}{\rho} = \text{Cte (3)}$$

expression relative à l'unité de masse

Chapitre 10

LE COUP DE BÉLIER

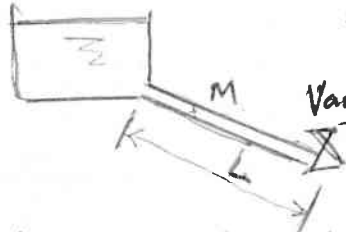
170

171

171

171

d) Digre



Réservoir F

Conduite de longueur L
terminée par une vanne V

Vanne V

instant 0 : V ouverte
— T : V fermée

L'énergie cinétique du fluide \rightarrow pression.

En M, la pression p_M à l'instant 0 devient $p_M + \Delta p_M$ (car Δp_M peut être grand)

Si on suppose l'eau incompressible, on a le coup de bâlier de Marceau

En pratique l'eau et la conduite sont élastiques

b) Etude du coup de bâlier de Marceau

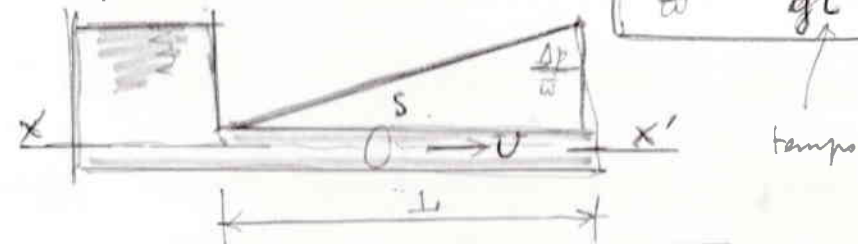
Le théorème d'EULER appliquée à la masse de fluide de la conduite \rightarrow

variation de quantité de mouvement (pendant Δt)

$$(\rho LS)U = \Delta(mV)$$

$$\rightarrow \frac{\rho LSU}{\Delta t} = \Delta p_S \quad \rightarrow \text{Supposition}$$

$$\frac{\Delta p}{\Delta t} = \frac{\rho LU}{g t}$$



en pratique

$$\frac{\Delta p}{\Delta t} = \frac{\rho LU}{g t}$$

application : mesure du débit dans une conduite forcée

(173)

(173)

c]

le coup de bâton plastique

(1) Schema de l'étude mathématique

Sont E le coefficient d'elasticité de la conduite

$\frac{1}{E}$ ————— de compressibilité de l'eau

D le ϕ de la conduite

e l'expansion

équations fondamentales:

1) Equation d'EULER selon l'axe:

$$\rightarrow \frac{\partial y}{\partial s} = \frac{\partial(z + \frac{p}{\rho})}{\partial s} = \frac{y_0}{g} = -\frac{1}{g} \frac{\partial V}{\partial t} \quad (1)$$

$y = \frac{p}{\rho g}$

$$\text{en fait } \frac{y_0}{g} = \frac{1}{g} \left(\frac{\partial V}{\partial t} + V \frac{\partial V}{\partial s} \right)$$

\uparrow négligeable

2) Equation de continuité:

$$\frac{\partial V}{\partial s} = -\left(\frac{1}{E} + \frac{D}{E\rho}\right) \cdot \frac{\partial(z + \frac{p}{\rho})}{\partial t} = -\frac{g}{a^2} \frac{\partial y}{\partial t} \quad (2)$$

$$\text{car. } \frac{ds}{s} = \frac{dp}{E} \cdot \frac{D}{\rho}$$

$$\text{avec } z + \frac{p}{\rho} = y = \frac{p}{\rho g}$$

$$\uparrow \text{en posant} \\ \frac{g}{a^2} = \frac{1}{E} + \frac{D}{E\rho}$$

(172)

(172)

Principe du calcul

$$\begin{aligned} \text{dérivons (1) par rapport à } t & \} \frac{\partial y}{\partial s \partial t} \\ \text{——— (2) } & \} b \end{aligned}$$

égalisez les 2 valeurs →

$$\boxed{\frac{\partial^2 V}{\partial t^2} = -a^2 \frac{\partial^2 V}{\partial s^2}} \quad (1)$$

$$\begin{aligned} \text{dérivons (2) par rapport à } t & \} \frac{\partial^2 V}{\partial s \partial t} \\ \text{——— (1) } & \} b \end{aligned}$$

$$\rightarrow \boxed{\frac{\partial^2 y}{\partial t^2} = a^2 \frac{\partial^2 y}{\partial s^2}} \quad (2)$$

Ce sont les équations des phénomènes vibratoires.

Intégrons →

(174)

$$V_{\text{Pesser}} \quad V = V_0 + \frac{g}{a} \left[f_1 \left(t - \frac{a}{a} \right) - f_2 \left(t + \frac{a}{a} \right) \right]$$

f_1 et f_2 fonction qui dépendent de la loi de la température

$$\underline{\text{pressions}} \quad z + \frac{p}{\rho g} = y = H_0 + f_1 \left(t - \frac{a}{a} \right) + f_2 \left(t + \frac{a}{a} \right)$$

a est la séparité des ondes dans le phénomène

$$\text{On a vu que } \frac{\rho}{a^2} = \frac{1}{E} + \frac{D}{E\rho}$$

$$\underline{\text{Formule pratique:}} \quad a = \frac{9900}{\sqrt{48,3 + \frac{KD}{\rho}}}$$

acier $K=0,5$

fonte $K=1$

plomb $K=5$

bois $K=10$

$$\text{Si: } E = \infty \rightarrow K=0 \quad (V_{\text{tende du son dans l'eau}})$$

Malheureusement: $a \approx 1000 \text{ m/s}$

(2) Discussion pratique

2) Réflexion d'une onde

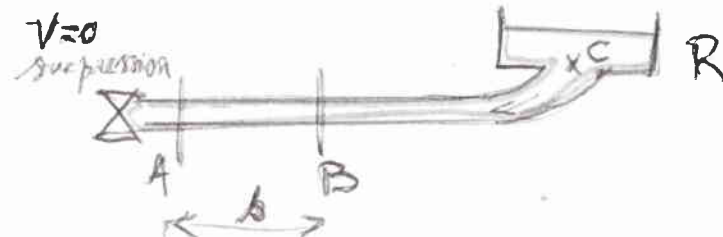
sur vanne, paroi fixe: l'action Δp ne change pas de signe

$-V_0$ change de signe

sur une surface libre (réervoir):

Δp change de signe

V_0 ne change pas de signe



(175)

(175)

(176)

(176)

Don schéma des pressions et vitesse)

b) fermeture brusque, fermeture lente

fermeture brusque si $T < \frac{2l}{a}$

$t > \frac{2l}{a}$ (fermeture lente)

la surpression est plus faible

Cas limite $T = \frac{2l}{a}$

$$\frac{\Delta p}{\omega} = \frac{a V_0}{g} \quad \text{et} \quad T = \frac{2l}{a} \rightarrow a = \frac{\Delta p \cdot g}{\omega \cdot V_0}$$

$$a = \frac{2L}{T}$$

d'où
$$\boxed{\frac{\Delta p}{\omega} = \frac{2l V_0}{g T}}$$

(30) Méthode de SNYPER - BERGERON
 formule d'ALLIEVI: On a vu que

$$\frac{\partial^2 (z + \frac{p}{\omega})}{\partial t^2} = \frac{\partial^2 y}{\partial t^2} = a^2 \frac{\partial^2 y}{\partial s^2}$$

$$\frac{\partial^2 V}{\partial t^2} = a^2 \frac{\partial^2 V}{\partial s^2}$$

Solution:

$$y = y_0 + \left[F_1 \left(t - \frac{s}{a} \right) + F_2 \left(t + \frac{s}{a} \right) \right]$$

$$V = V_0 + \frac{q}{a} \left[F_1 \left(t - \frac{s}{a} \right) - F_2 \left(t + \frac{s}{a} \right) \right]$$

$$\text{on } (y - y_0 = \Delta y = F_1 + F_2)$$

$$\frac{q}{g} (V - V_0) = \frac{q}{g} \Delta V = F_1 - F_2$$

d'éliminer F_1 puis $F_2 \rightarrow$

$$\Delta y = -\frac{q}{g} \Delta V + 2F_1 \left(t - \frac{s}{a} \right)$$

$$\Delta y = \frac{q}{g} \Delta V + 2F_2 \left(t + \frac{s}{a} \right)$$

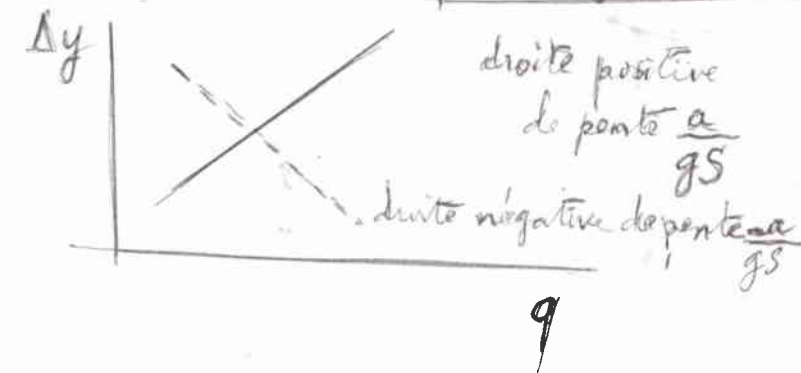
(177)

Donc un observateur à la vitesse a

$t - \frac{s}{a}$ est constant et $F_1 = \text{cte}$

$$\rightarrow \Delta y + \frac{q}{g} \Delta V = 2F_1 = \text{cte}$$

$$\text{ou } V = \frac{q}{gS} \rightarrow \boxed{\Delta y + \frac{q}{gS} \Delta q = \text{cte}}$$



De même observateur à la vitesse $-a$
 (dans le sens opposé à l'écoulement)
 $F_2 = \text{cte}$

$$\rightarrow \Delta y - \frac{q}{gS} \Delta V = F_2 = \text{cte}$$

$$\text{dureté de pente } -\frac{q}{gS}$$

(178)

(178)

(179)

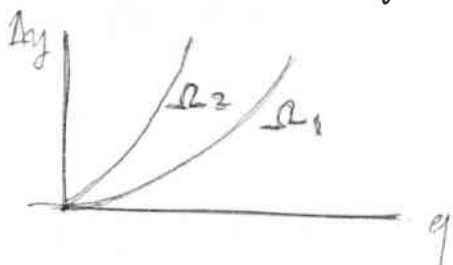
(19)

Application

$$\frac{s_2 - s_1}{t_2 - t_1} = a$$

Caractéristiques d'extremité

- vanne fermée : débit = 0
- débouche dans un réservoir : pression = cte
- vannes (voorifico) : $q_0 = \Omega_0 \sqrt{2gH}$

FIN